

الجمهورية الجزائرية الديمقراطية الشعبية
REPUBLIQUE ALGERIENNE DEMOCRATIQUE ET POPULAIRE

وزارة التعليم والبحث العلمي
MINISTERE DE L'ENSEIGNEMENT ET DE LA RECHERCHE SCIENTIFIQUE

ECOLE NATIONALE POLYTECHNIQUE

DEPARTEMENT : D'ELECTROTECHNIQUE

المدرسة الوطنية المتعددة التقنيات
BIBLIOTHEQUE — المكتبة
Ecole Nationale Polytechnique

PROJET DE FIN D'ETUDES

en vue de l'obtention du diplôme d'ingénieur d'état

SUJET

Moteur Asynchrone à Rotor Massif Lisse en Régime Transitoire

Proposé par :
M.E. ZAIM

Etudié par :
OULD-TAHAR A
MAHINDAD S

Dirigé par :
M.E. ZAIM



PROMOTION : Janvier 1986

المدرسة الوطنية المتعددة التقنيات
BIBLIOTHEQUE — المكتبة
Ecole Nationale Polytechnique

A

la mémoire de ma grand-mère et amie
de par qui les yeux j'ai vu les
premières lueurs du printemps, elle
qui était à l'orée de son hiver .

Ahcène .

-oO(REMERCIEMENTS°)Oo-

Nous tenons à remercier vivement notre promoteur Monsieur M.E. ZAIM pour son dévouement et son aide précieuse qu'il nous a apporté.

Nous adressons également nos plus vifs remerciements à tous les professeurs qui ont contribué à notre formation.

Que les membres du Jury qui ont accepté de juger ce modeste travail veuillent bien trouver, ici, nos respectueux remerciements.

Que toute personne ayant contribué de près ou de loin à l'élaboration de ce projet de fin d'études trouve ici, notre reconnaissance et nos sincères remerciements.

SOMMAIRE

INTRODUCTION

CHAPITRE I ETUDE DES REGIMES TRANSITOIRES D'UNE MACHINE TRIPHASE A ROTOR BOBINE

- équation de fonctionnement du moteur triphasé
- équations de fonctionnement du moteur biphasé équivalent
 - composantes de CONCORDIA
 - transformation de PARK
 - passage des équations du moteur triphasé aux équations du moteur biphasé équivalent
- choix du référentiel
- équations de fonctionnement en grandeurs réduites
- méthode de Runge-Kutta
- application
 - paramètres électriques
 - paramètres mécaniques
 - organigramme de la méthode de Runge-Kutta

CHAPITRE II MODELISATION DU ROTOR MASSIF PAR UN ENSEMBLE N DE CIRCUITS LINEAIRES EQUIVALENTS

- introduction
- modélisation du rotor
 - paramètres de la machine à rotor massif

CHAPITRE III ETUDE DES REGIMES TRANSITOIRES DE LA MACHINE A ROTOR MASSIF

- équations de fonctionnement du moteur triphasé
- équations de fonctionnement du moteur biphasé équivalent

CONCLUSION

ANNEXE

Introduction.

Le choix d'un moteur électrique met en jeu de nombreuses conditions qui sont parfois difficiles à satisfaire. face aux problèmes qui se posent à l'utilisateur, il est nécessaire de pouvoir faire, parmi ces moteurs, un choix qui répondrait de façon optimale aux exigences posées par ceux-ci.

Actuellement l'électronique de puissance apporte des possibilités nouvelles d'alimentation et de régulation qui trouvent leurs applications sur tout les types de moteurs et particulièrement sur les moteurs asynchrones à rotor massif .

Les moteurs asynchrones à rotor massif trouvent leurs applications comme servomoteurs dans les systèmes de commande automatique. L'emploi du rotor massif présentant une grande sécurité mécanique, permet de construire des moteurs asynchrones pour des vitesses de rotations très élevées . Bien que leur construction présente de bonnes qualités technologiques , leurs propriétés énergétiques en marche de régime sont assez médiocres.

L'étude du rotor est assez complexes , les courants ne sont pas induits dans les conducteurs bien définis comme ; dans le cas de la machine classique , mais dans un milieu uniforme et homogène .

La grande partie du flux statorique se réfracte à travers la couche superficielle du rotor sans pénétrer profondément (effet de peau) . la partie interne est faiblement affectée par le flux surtout lors du démarrage .

L'étude des régimes transitoires de la machine à rotor massif par la méthode de la simulation numérique nécessite la connaissance des courants et des paramètres rotoriques . Pour cela, notre travail consiste en la modélisation du circuit rotorique, par un ensemble n de circuits linéaires équivalents , du moteur asynchrone à rotor massif étudié. . On détermine par la suite les paramètres de chaque circuit linéaire équivalent .

L'application de l'étude des régimes transitoires de la machine à rotor bobiné par simulation numérique à la machine à rotor massif modélisé permet de visualiser l'évolution du courant et de la vitesse de la machine au démarrage .

Chapitre I

ETUDE DES REGIMES TRANSITOIRES D'UNE MACHINE
TRIPHASE A ROTOR BOBINE

L'étude des régimes transitoires d'une machine à rotor bobine nécessite généralement les hypothèses simplificatrices suivantes:

-non saturation du circuit magnétique, ce qui permet d'exprimer la linéarité des flux avec les courants.

-inexistence des courants de Foucault dans le circuit magnétique.

-répartition sinusoidale de l'induction magnétique dans l'entrefer.

Nous adoptons les conventions de signes suivantes:

-le stator est considéré comme récepteur, le rotor comme générateur.

-les angles et les vitesses sont comptés dans le sens horaire.

-au stator, les tensions sont positives, les courants positifs créent des flux d'enroulements positifs et les f.e.m induites positives tendent à créer des courants positifs.

-au rotor, les courants positifs créent des flux d'enroulements positifs.

Dans ces conditions, si on considère la machine à rotor en court-circuit modélisé par la figure 1,

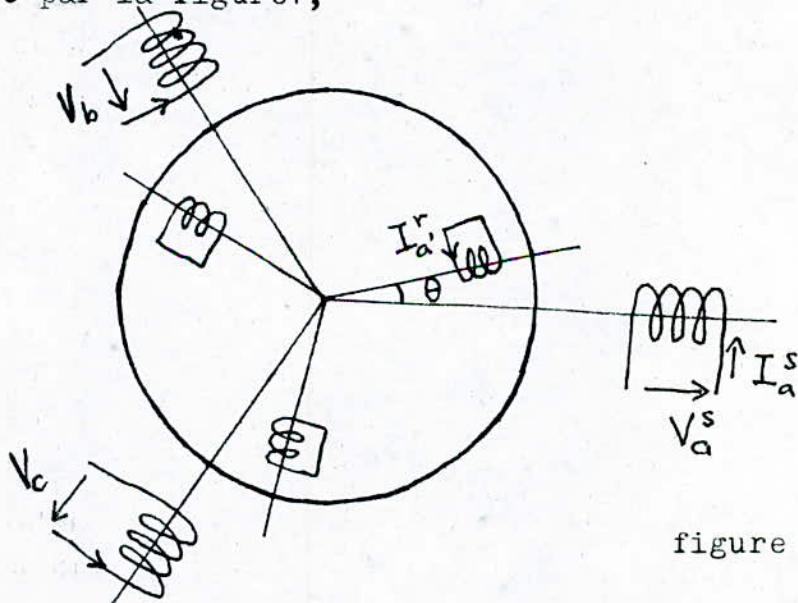


figure 1

L'expression liant les flux traversant l'entrefer et les courants est donnée par la relation suivante exprimée sous forme matricielle.

$$[\Psi] = [L][I] \dots (1)$$

avec
$$[\Psi] = {}^t \begin{bmatrix} \Psi_a^s & \Psi_b^s & \Psi_c^s & \Psi_{a'}^r & \Psi_{b'}^r & \Psi_{c'}^r \end{bmatrix}$$

$$[I] = {}^t \begin{bmatrix} I_a^s & I_b^s & I_c^s & I_{a'}^r & I_{b'}^r & I_{c'}^r \end{bmatrix}$$

et
$$[\mathcal{L}] = \begin{bmatrix} \mathbb{L}^s & \mathbb{L}^{sr} \\ \mathbb{L}^{rs} & \mathbb{L}^r \end{bmatrix}; \quad \mathbb{L}^s = \begin{bmatrix} L^s & M^s & M^s \\ M^s & L^s & M^s \\ M^s & M^s & L^s \end{bmatrix}; \quad \mathbb{L}^r = \begin{bmatrix} L^r & M^r & M^r \\ M^r & L^r & M^r \\ M^r & M^r & L^r \end{bmatrix}$$

$$\mathbb{L}^{sr} = M_0 \begin{bmatrix} \cos \theta & \cos(\theta + 2\pi/3) & \cos(\theta + 4\pi/3) \\ \cos(\theta - 2\pi/3) & \cos \theta & \cos(\theta + 2\pi/3) \\ \cos(\theta - 4\pi/3) & \cos(\theta - 2\pi/3) & \cos \theta \end{bmatrix}$$

Les equations électriques sont:

$$(2) \begin{cases} V_{abc}^s = R_1 I_{abc}^s + \frac{d}{dt} \left[L_1 I_{abc}^s + \mathbb{L}^{sr} I_{a'b'c'}^r \right] \\ 0 = R_2 I_{a'b'c'}^r + \frac{d}{dt} \left[{}^t \mathbb{L}^{sr} I_{abc}^s + L_2 I_{a'b'c'}^r \right] \end{cases}$$

avec : $L_1 = L^s - M^s$ et $L_2 = L^r - M^r$.

tandis que l'equation mecanique du moteur est donné par:

$$J \frac{d^2 \theta}{dt^2} = \Gamma_{em} - \Gamma_r \quad \dots (3)$$

où Γ_{em} est le couple electromagnetique
 Γ_r est le couple resistant

On prend l'instant où les axes du rotor coincident avec ceux du stator comme origine des temps, l'expression précédente redevient:

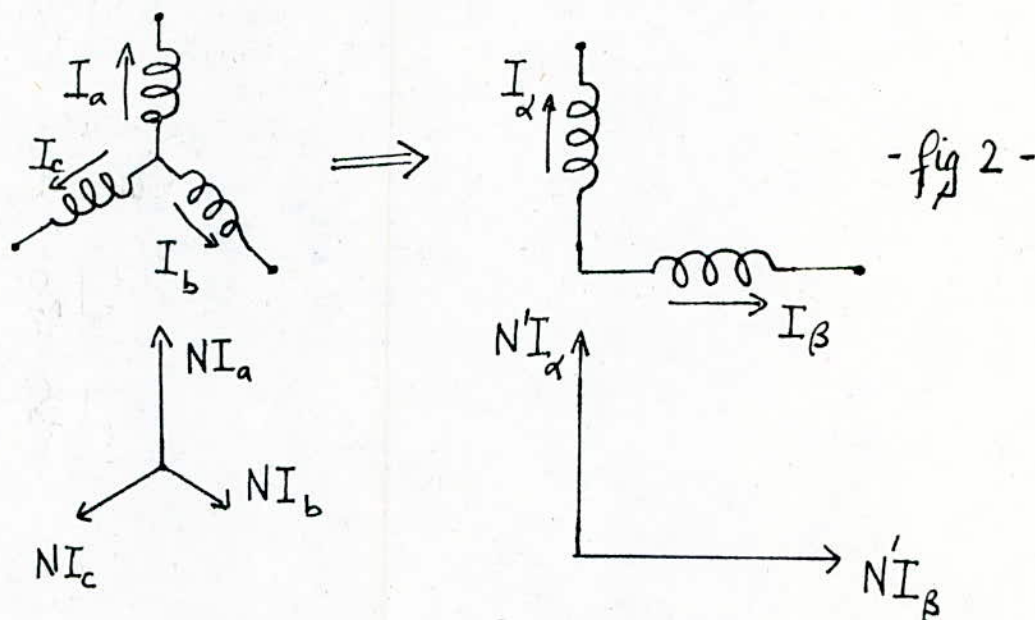
$$J \frac{d\Omega}{dt} = {}^t I_{abc}^s \frac{d \mathbb{L}^{sr}}{dt} I_{a'b'c'}^r - \Gamma_r \quad \dots (4)$$

En regime établi, les équations (2) se reduisent à :

$$(5) \begin{cases} V_a^s = R_1 I_a^s + L_1 \frac{dI_a^s}{dt} + \frac{d}{dt} [M^{11} I_a^r + M^{12} I_b^r + M^{13} I_c^r] \\ 0 = R_2 I_a^r + L_2 \frac{dI_a^r}{dt} + \frac{d}{dt} [M^{21} I_a^s + M^{22} I_b^s + M^{23} I_c^s] \end{cases}$$

EQUATIONS DE FONCTIONNEMENT DU MOTEUR BIPHASE EQUIVALENT
COMPOSANTES DE CONCORDIA

Soient I_a, I_b et I_c trois vecteurs courants décalés entre eux de $2\pi/3$ et parcourant trois bobines identiques à N spires chacune, et soient les f.m.m correspondantes NI_a, NI_b et NI_c (fig 2)



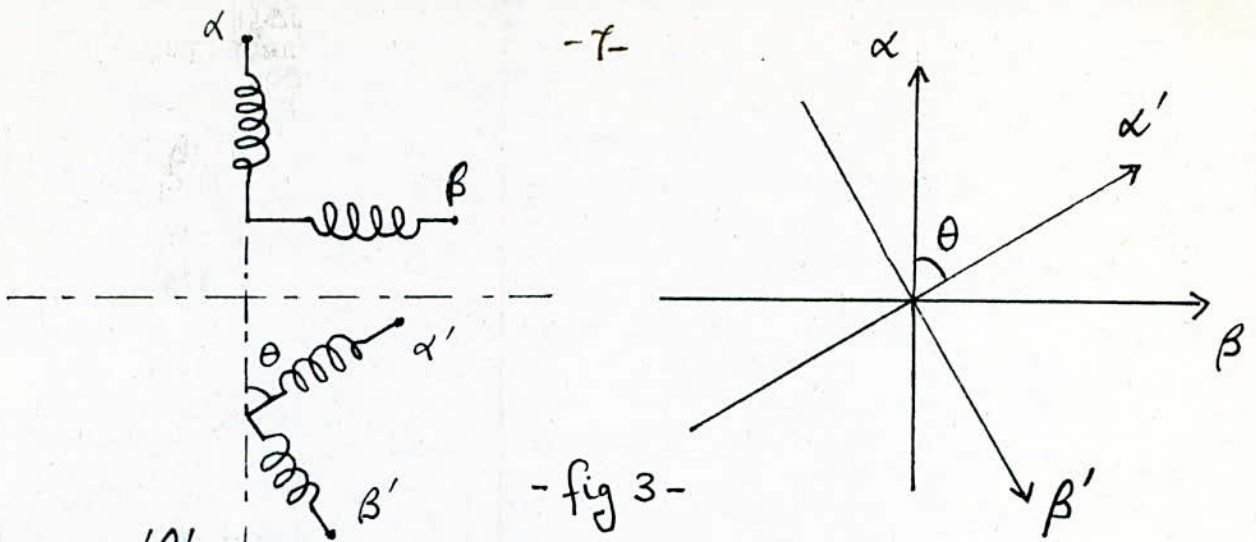
$$[I_{\alpha\beta}] = [C] [I_{abc}] \quad \dots (6)$$

On choisit la matrice de passage du système triphasé au système biphasé.

$$[C] = \sqrt{\frac{2}{3}} \begin{bmatrix} 1 & -1/2 & -1/2 \\ 0 & \sqrt{3}/2 & -\sqrt{3}/2 \end{bmatrix}$$

TRANSFORMATION DE PARK

Cette transformation consiste à passer d'un repère lié au stator à un repère lié au rotor (fig 3)



Soit α', β' un système d'axes orthonormé lié au rotor et décalé d'un angle θ par rapport aux axes α et β .

Les axes α', β' s'expriment en fonction des axes α et β liés au stator par:

$$\begin{bmatrix} I_{\alpha'\beta'} \end{bmatrix} = \begin{bmatrix} \cos \theta & \sin \theta \\ -\sin \theta & \cos \theta \end{bmatrix} \begin{bmatrix} I_{\alpha\beta} \end{bmatrix}$$

$$\begin{bmatrix} I_{\alpha'\beta'} \end{bmatrix} = [D]^{-1} \begin{bmatrix} I_{\alpha\beta} \end{bmatrix}$$

La matrice permettant le passage des composantes de Concordia à celle de park, appelé matrice de park, est:

$$D(\theta) = \begin{bmatrix} \cos \theta & -\sin \theta \\ \sin \theta & \cos \theta \end{bmatrix}$$

avec $D(\theta) = D(-\theta)$

$$D(\pi/2) = \begin{pmatrix} 0 & -1 \\ 1 & 0 \end{pmatrix}$$

$$I_{\alpha\beta} = D(\theta) I_{\alpha'\beta'} \dots (7)$$

PASSAGE DES EQUATIONS DU MOTEUR TRIPHASE AUX EQUATIONS
DU MOTEUR BIPHASE EQUIVALENT

$$(8) \begin{cases} V_{abc}^s = R_1 I_{abc}^s + \frac{d}{dt} \left[L_1 I_{abc}^s + \mathbb{L}^{sr} I_{abc}^r \right] \\ 0 = R_2 I_{abc}^r + \frac{d}{dt} \left[\mathbb{L}^{sr} I_{abc}^s + L_2 I_{abc}^r \right] \\ J \frac{d\Omega}{dt} = {}^t I_{abc}^s \frac{d}{dt} \left[\mathbb{L}^{sr} \right] I_{abc}^r - \Gamma_r \end{cases}$$

En remplaçant les courants et les tensions par leur expressions respectives dans le nouveau repère, on obtient:

$$(9) \dots \left\{ \begin{array}{l} V_{\alpha\beta}^s = R_1 I_{\alpha\beta}^s + \frac{d}{dt} \left[L_1 I_{\alpha\beta}^s + \frac{3}{2} M_0 D(\theta) I_{\alpha'\beta'}^r \right] \\ 0 = R_2 I_{\alpha'\beta'}^r + \frac{d}{dt} \left[L_2 I_{\alpha'\beta'}^r + \frac{3}{2} M_0 D(-\theta) I_{\alpha\beta}^s \right] \\ J \frac{d\Omega}{dt} = \frac{3}{2} M_0^t I_{\alpha\beta}^s \frac{d}{dt} D(\theta) I_{\alpha'\beta'}^r - \Gamma_r \end{array} \right.$$

avec

$$V_{\alpha\beta}^s = \sqrt{3} V_{eff}^s \begin{bmatrix} \cos(\omega t + \Phi_s) \\ \sin(\omega t + \Phi_s) \end{bmatrix}$$

$$I_{\alpha\beta}^s = \sqrt{3} I_{eff}^s \begin{bmatrix} \cos(\omega t - \psi_s) \\ \sin(\omega t - \psi_s) \end{bmatrix}$$

$$I_{\alpha\beta}^r = \sqrt{3} I_{eff}^r \begin{bmatrix} \cos(g\omega t - \psi_r) \\ \sin(g\omega t - \psi_r) \end{bmatrix}$$

CHOIX DU REFERENCIEL

Nous limitons notre travail, à l'étude à tension constante du courant et de la vitesse de rotation du moteur en fonction du temps. Le repère qui convient à notre étude est celui lié au stator.

Dans ce repère, l'équation angulaire en fonction du temps s'exprime par:

$$\theta = p \Omega t + \theta_0.$$

et si on reporte la valeur de $I_{\alpha'\beta'}^r$ lié au rotor par sa quantité liée au repère fixe $D' I_{\alpha\beta}^r$ dans (9), on aura:

$$(10) \left\{ \begin{array}{l} V_{\alpha\beta}^s = R_1 I_{\alpha\beta}^s + \frac{d}{dt} \left[L_1 I_{\alpha\beta}^s + M I_{\alpha\beta}^r \right] \\ 0 = R_2 I_{\alpha\beta}^r + M \left[\frac{d}{dt} I_{\alpha\beta}^s - p \Omega D(\pi/2) I_{\alpha\beta}^s \right] \\ \quad + L_2 \left[\frac{d}{dt} I_{\alpha\beta}^r - p \Omega D(\pi/2) I_{\alpha\beta}^r \right] \\ J \frac{d\Omega}{dt} = p M^t I_{\alpha\beta}^s D(\pi/2) I_{\alpha\beta}^r - \Gamma_r \end{array} \right.$$

les équations précédentes peuvent s'exprimer sous forme matricielle, on a;

$$\mathcal{V} = A \mathcal{J} + B \frac{d\mathcal{J}}{dt} \quad \dots(11)$$

avec

$$\mathcal{V} = {}^t [V_\alpha^s \quad V_\beta^s \quad 0 \quad 0] ; \quad \mathcal{J} = [I_\alpha^s \quad I_\beta^s \quad I_\alpha^r \quad I_\beta^r]$$

$$A = \begin{bmatrix} R_1 & 0 & 0 & 0 \\ 0 & R_1 & 0 & 0 \\ 0 & pM\Omega & R_2 & pL_2\Omega \\ -pM\Omega & 0 & -pL_2\Omega & R_2 \end{bmatrix} ; \quad B = \begin{bmatrix} L_1 & 0 & M & 0 \\ 0 & L_1 & 0 & M \\ M & 0 & L_2 & 0 \\ 0 & M & 0 & L_2 \end{bmatrix}$$

Ce système matriciel s'écrit aussi sous la forme suivante :

$$\frac{d\mathcal{J}}{dt} = (A_1 + p\Omega A_2) \mathcal{J} + B_2 V_{\alpha\beta}^s \quad \dots(12)$$

avec

$$A_1 = \frac{1}{S} \begin{bmatrix} -L_2 R_1 & 0 & M R_2 & 0 \\ 0 & -L_2 R_1 & 0 & M R_2 \\ M R_1 & 0 & -L_1 R_2 & 0 \\ 0 & M R_1 & 0 & -L_1 R_2 \end{bmatrix} ; \quad S = L_1 L_2 - M^2$$

$$A_2 = \frac{1}{S} \begin{bmatrix} 0 & M^2 & 0 & M L_2 \\ -M^2 & 0 & -M L_2 & 0 \\ 0 & -M L_1 & 0 & -L_1 L_2 \\ M L_1 & 0 & L_1 L_2 & 0 \end{bmatrix} ; \quad B_2 = \begin{bmatrix} L_2 & 0 \\ 0 & L_2 \\ -M & 0 \\ 0 & -M \end{bmatrix}$$

A ces équations électriques, on ajoute l'équation mécanique donnée par :

$$\frac{d\Omega}{dt} = \frac{pM}{J} (I_\alpha^r I_\beta^s - I_\alpha^s I_\beta^r) - \frac{\Gamma_r}{J} \quad \dots(13)$$

EQUATIONS DE FONCTIONNEMENT EN GRANDEURS REDUITES

Les grandeurs réduites sont directement liée aux grandeurs instantannées des variables par rapport à leur grandeurs nominales.

-Grandeurs de la machine.

$$S_n = 3 V_n^s I_n^s \quad ; \quad \Gamma_n = S_n \frac{P}{\omega} \quad ; \quad T = \omega t$$

$$Z_{sn} = \frac{V_n^s}{I_n^s} \quad ; \quad Z_{rn} = \frac{V_n^r}{I_n^r} \quad ; \quad Z_{mm} = \frac{V_n^r}{I_n^s}$$

$$I_{\alpha n}^s = I_{\beta n}^s = \sqrt{3} I_n^s \quad ; \quad I_{\alpha n}^r = I_{\beta n}^r = \sqrt{3} I_n^r \quad ; \quad V_{\alpha n}^s = V_{\beta n}^s = \sqrt{3} V_n^s$$

-Grandeurs réduites de la machine .

$$x_1 = \frac{L_1 \omega}{Z_{sn}} \quad ; \quad x_2 = \frac{L_2 \omega}{Z_{rn}} \quad ; \quad x_m = \frac{M \omega}{Z_{mm}} \quad ; \quad r_1 = \frac{R_1}{Z_{sn}} \quad ; \quad r_2 = \frac{R_2}{Z_{rn}}$$

$$i_{\alpha\beta}^s = \frac{I_{\alpha\beta}^s}{\sqrt{3} I_n^s} \quad ; \quad i_{\alpha\beta}^r = \frac{I_{\alpha\beta}^r}{\sqrt{3} I_n^r} \quad ; \quad v_{\alpha\beta}^s = \frac{V_{\alpha\beta}^s}{\sqrt{3} V_n^s} \quad ; \quad \bar{\Omega} = \frac{\Omega}{\Omega_s} \quad ; \quad \gamma_{em} = \frac{\Gamma_{em}}{\Gamma_n}$$

En introduisant ce changement de grandeur dans le système matriciel (12) on obtient:

$$\frac{dJ}{dT} = \frac{1}{S'} \left[(A'_1 + A'_2 \bar{\Omega}) \bar{J} + B'_2 \bar{V}_{\alpha\beta}^s \right] \dots (14)$$

avec

$$A'_1 = \begin{bmatrix} -r_1 x_2 & 0 & x_m r_2 & 0 \\ 0 & -r_1 x_2 & 0 & x_m r_2 \\ x_m r_1 & 0 & -r_2 x_1 & 0 \\ 0 & r_1 x_m & 0 & -r_2 x_1 \end{bmatrix}$$

$$B'_2 = \begin{bmatrix} x_2 & 0 \\ 0 & x_2 \\ -x_m & 0 \end{bmatrix}$$

$$S' = x_1 x_2 - x_m^2$$

$$A_2' = \begin{bmatrix} 0 & x_m^2 & 0 & x_m r_2 \\ -x_m^2 & 0 & -x_2 x_m & 0 \\ 0 & -x_1 x_m & 0 & -x_1 x_2 \\ x_1 x_m & 0 & x_1 x_2 & 0 \end{bmatrix}$$

Les valeurs instantannées des tensions réduites sont exprimé par :

$$V_\alpha^s = \frac{\sqrt{3} V_e^s / f}{\sqrt{3} V_n^s} \cos T = \cos T.$$

$$V_\beta^s = \frac{\sqrt{3} V_e^s / f}{\sqrt{3} V_n^s} \sin T = \sin T.$$

Tandis que l'équation mécanique est donnée par:

$$\frac{d\bar{\Omega}}{dT} = \frac{\Gamma_n x_m P}{J \omega^2} (i_\beta^s i_\alpha^r - i_\alpha^s i_\beta^r) - \frac{\bar{\Gamma}_r}{J \omega}.$$

Le couple résistant est une composition du couple de frottement et du couple dû à la charge.

Si on admet que ces deux couples varient linéairement avec la vitesse, l'équation mécanique devient:

$$\frac{d\bar{\Omega}}{dT} = \frac{\Gamma_n x_m P}{J \omega^2} (i_\beta^s i_\alpha^r - i_\alpha^s i_\beta^r) - \frac{k \bar{\Omega}}{J \omega} - \frac{f \bar{\Omega}}{J \omega} \dots (15)$$

$$\text{avec } \bar{\Gamma}_r = k \bar{\Omega} + f \bar{\Omega}$$

où k est le coefficient de charge

f le coefficient de frottement

Nous allons à titre d'exemple étudier le démarrage du moteur asynchrone à rotor bobiné.

Les équations décrivant le fonctionnement du moteur (14) et (15) ne sont pas linéaires, nous utilisons la méthode de Runge-Kutta de 4^{ème} ordre pour la résoudre.

cette méthode permet la résolution simultanée de tout le système connaissant les valeurs précédentes pour une itération. La même opération se répète pour l'itération suivante et ce jusqu'à l'établissement du régime permanent du moteur correspondant à un temps T_f .

METHODE DE RUNGE-KUTTA

$$\text{Soit } \begin{aligned} y_i(1) &= I_\alpha^s \\ y_i(2) &= I_\beta^s \\ y_i(3) &= I_\alpha^r \\ y_i(4) &= I_\beta^r \\ y_i(5) &= \bar{\Omega} \end{aligned} ; [f_j] = \begin{bmatrix} f_1 \\ f_2 \\ f_3 \\ f_4 \\ f_5 \end{bmatrix} = \frac{d}{dt} \begin{bmatrix} I_\alpha^s \\ I_\beta^s \\ I_\alpha^r \\ I_\beta^r \\ \bar{\Omega} \end{bmatrix}$$

Nous prenons l'état où le moteur est à l'arrêt comme état initial donc:

$$T=0 ; y_i(1) = y_i(2) = y_i(3) = y_i(4) = y_i(5) = 0.$$

La variation entre deux points consécutifs d'une fonction $Y(j)$ est donné par:

$$\Delta y_{i+1}(j) = y_{i+1}(j) - y_i(j).$$

$$\text{avec } \Delta y_{i+1}(j) = \frac{1}{6} [K_1(j) + 2K_2(j) + 2K_3(j) + K_4(j)]$$

en prenant un pas de calcul H tel que;

$$H = T_{i+1} - T_i, (\text{rad})$$

Les différentes valeurs des $K_i(j)$ s'expriment par:

$$K_1(j) = H \int_j (T_i; y_i(1); y_i(2); y_i(3); y_i(4); y_i(5))$$

$$K_2(j) = H \int_j \left(T_i + \frac{H}{2}; y_i(1) + \frac{K_1(1)}{2}; y_i(2) + \frac{K_1(2)}{2}; y_i(3) + \frac{K_1(3)}{2}; y_i(4) + \frac{K_1(4)}{2}; y_i(5) + \frac{K_1(5)}{2} \right).$$

$$K_3(j) = H \int_j \left(T_i + \frac{H}{2}; y_i(1) + \frac{K_2(1)}{2}; y_i(2) + \frac{K_2(2)}{2}; y_i(3) + \frac{K_2(3)}{2}; y_i(4) + \frac{K_2(4)}{2}; y_i(5) + \frac{K_2(5)}{2} \right).$$

$$K_4(j) = H \int_j \left(T_i + H; y_i(1) + K_3(1); y_i(2) + K_3(2); y_i(3) + K_3(3); y_i(4) + K_3(4); y_i(5) + K_3(5) \right)$$

Pour vérifier la validité des calculs théoriques précédents nous allons les comparer à ceux obtenue expérimentalement sur une machine ayant les paramètres suivants:

PARAMETRES ELECTRIQUES.

-Puissance nominale	5CV
Vitesse nominale	1430tr/mn
-Stator en triangle	220 ^V /14,8 ^a
-Tension rotorique nominale	100V
Courant rotorique nominale	24A
-Résistance statorique	1Ω
-Résistance rotorique	0,08 Ω
Inductance statorique	0,155 H
-Inductance rotorique	0,012 H
-Rapport de transformation	a=U _s /U _{ro} =2,19
	à=U _r /U _{so} =0,52
-Coefficient de dispersion	=0,12
-Mutuelle inductance stator-rotor	M=0,04 H

PARAMETRES MECANIQUES.

-Moment d'inertie

Nous avons déterminé les pertes mécaniques P_m à partir de la caractéristique à vide $P=f(U^2)$ à vitesse constante .

$$P_m = 220 \text{ W}$$

A partir de l'essai de ralentissement on obtient:

$$\frac{d\Omega}{dt} = 12,46 \text{ rad/s}^2 .$$

A vide, l'équation mécanique est donné par:

$$J \frac{d\Omega}{dt} = \frac{P_m}{\Omega}$$

On peut alors en déduire le moment d'inertie J tq:

$$J = \frac{P_m}{\Omega} \frac{1}{\left(\frac{d\Omega}{dt}\right)} = 0,13 \text{ kg/m}^2 .$$

-Coefficient de frottement

le moteur, alimenté sous sa tension nominale, tourne à vide. Son équation mécanique est donné par:

$$J \frac{d\Omega}{dt} = \Gamma_{em} - f \Omega$$

La puissance électromagnétique se réduit pratiquement au pertes mécaniques P_m . On en déduit alors le coefficient de frottement f tq:

$$f = \frac{P_m}{\omega} \frac{P}{\Omega} . \quad \Omega : \text{constante}$$

$$f = 0,009 \text{ [M.N.s/rad]}$$

-Coefficient du couple résistant

Le moteur, alimenté sous sa tension nominale, entraîne une génératrice débitant sur une charge résistive.

A vitesse constante, le couple électromagnétique est donné par:

$$\Gamma_{em} = k \Omega + f \Omega = (P_{abs} - P_{js} - P_{fs}) \frac{P}{\omega} .$$

Les pertes fer P_{fs} sont déterminé à partir de la caractéristique à vide $P=f(U^2)$ à vitesse constante. On peut en déduire alors le coefficient du couple de charge k tel que:

$$K = \frac{P_{abs} - P_{js} - P_{fs}}{\omega} \frac{P}{\Omega} - f.$$

$$K = 0,12. (N.m.s/rad)$$

DEBUT

DEBUT

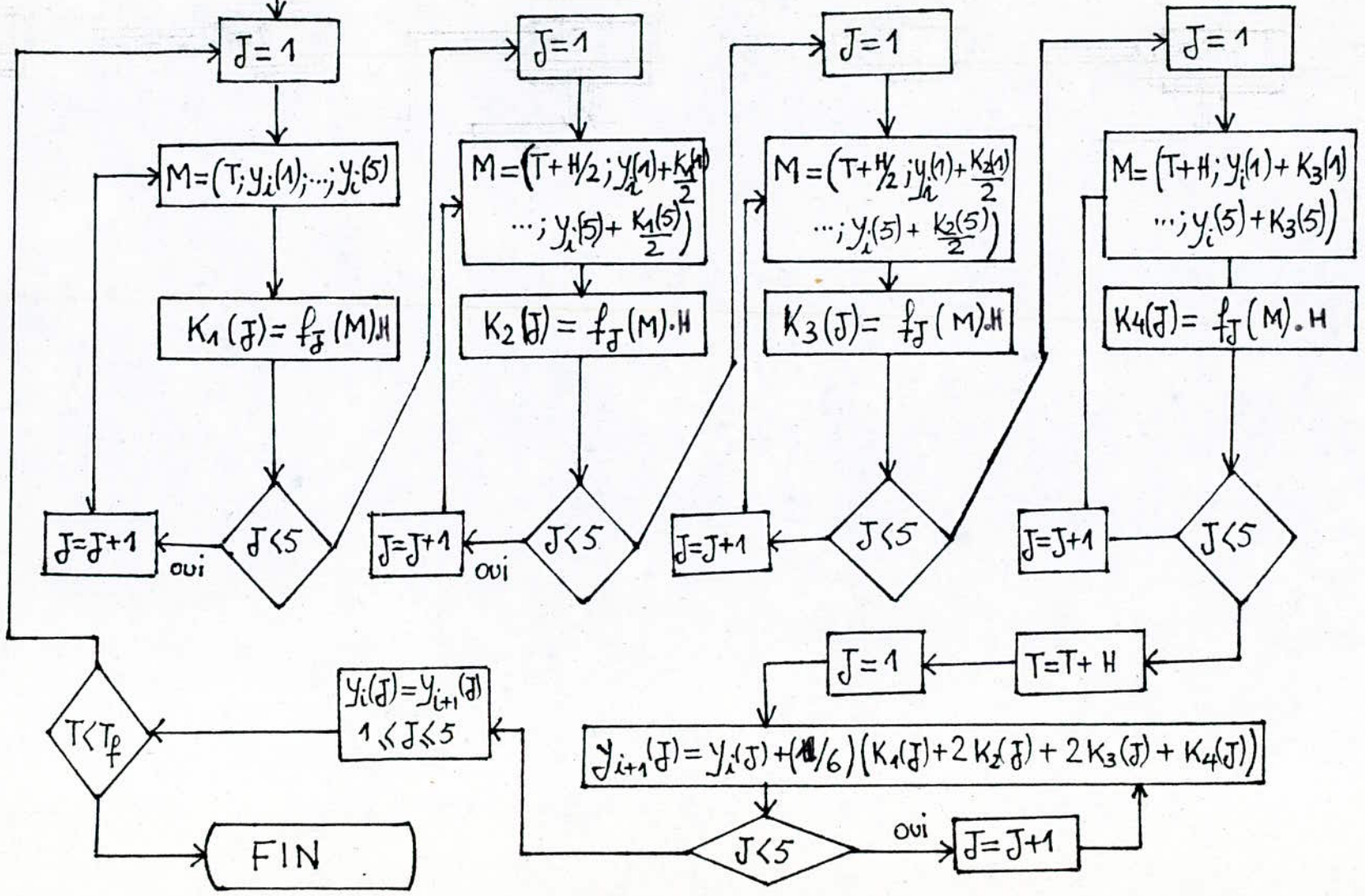
DEBUT

DEBUT

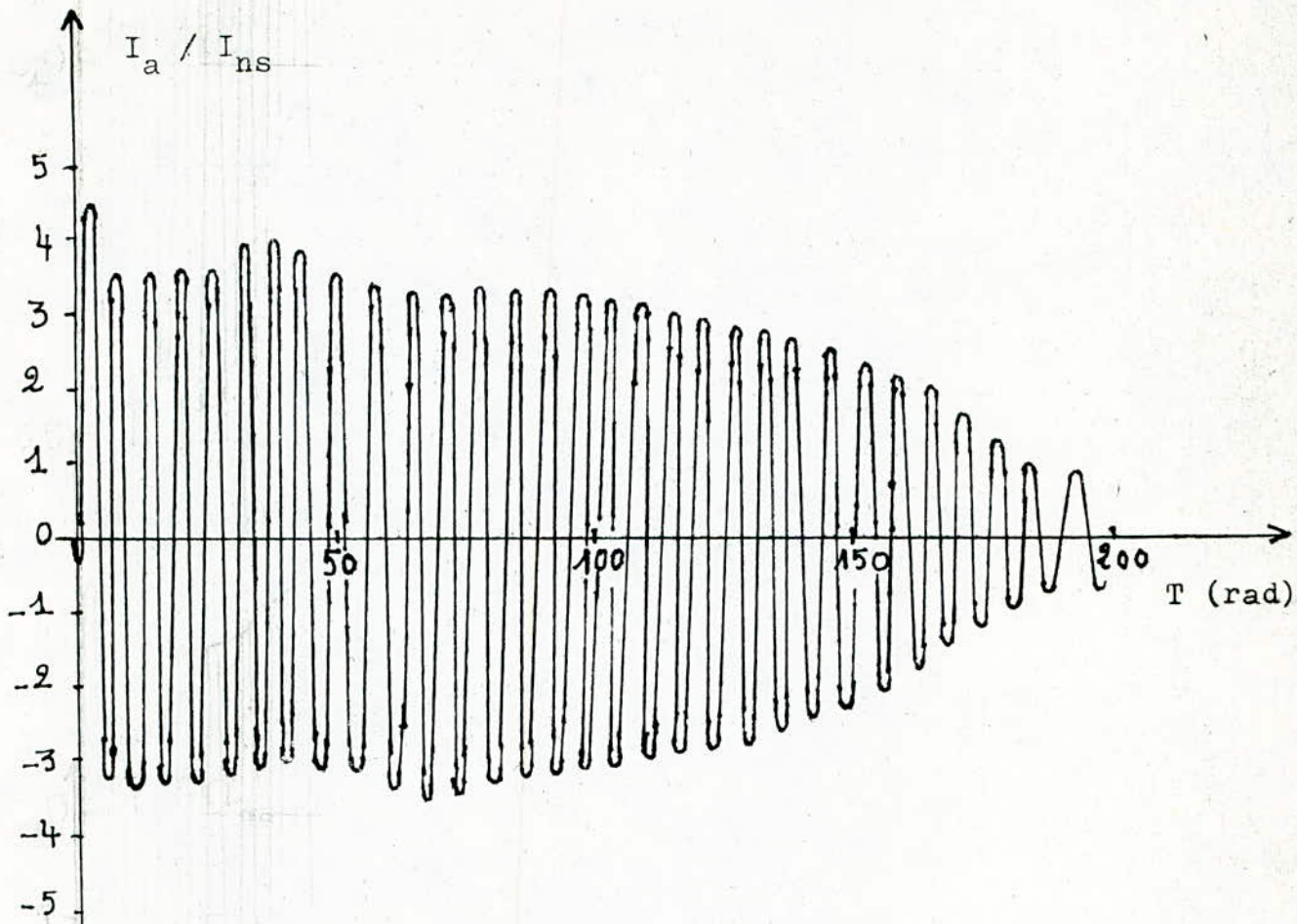
DEBUT

Données: $f_J; y_0(J); H$
 $T_f; 1 < J < 5$

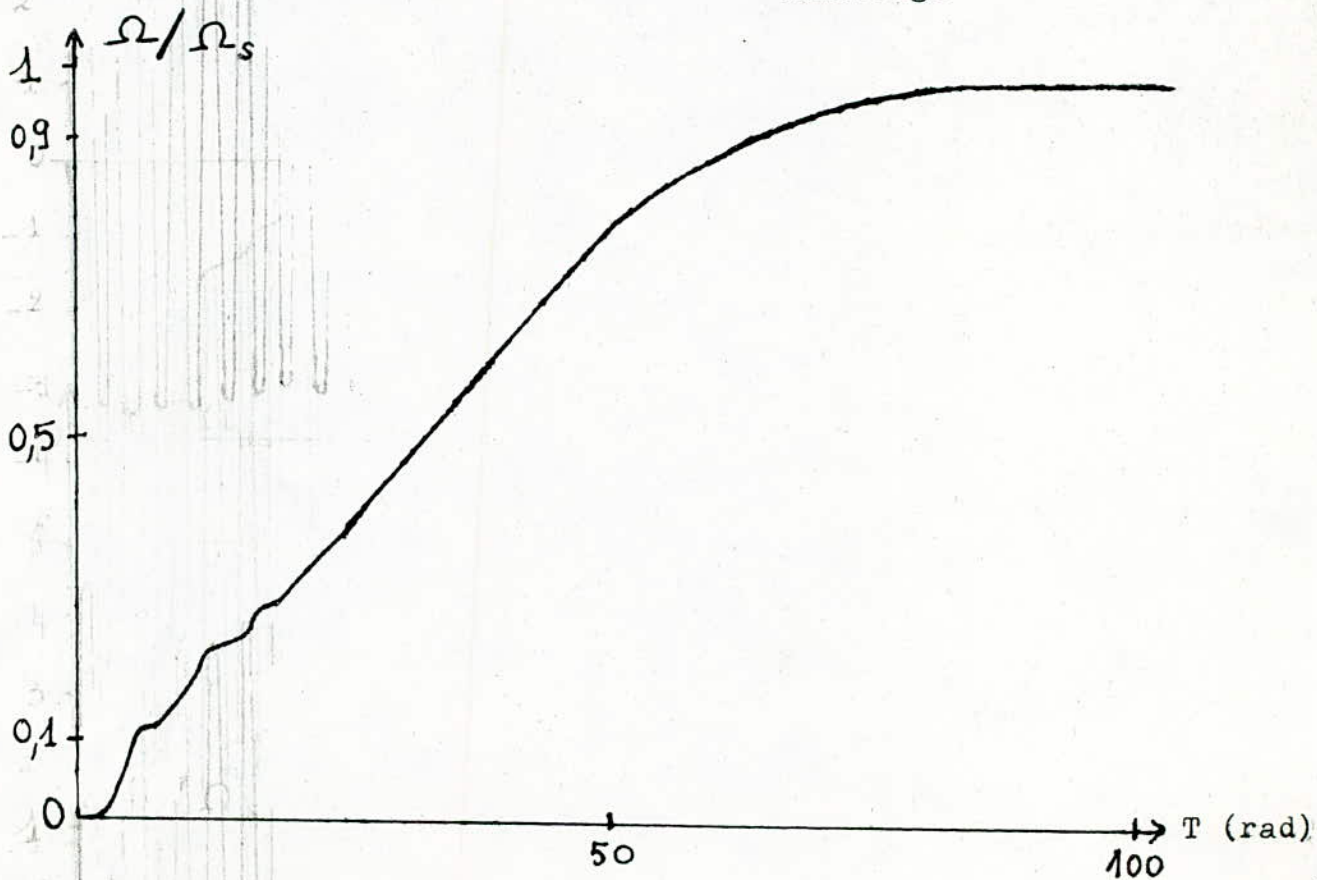
T=0



Organigramme de la méthode de Runge-Kutta du 4^{ème} ordre; [12].



- Courant statorique et vitesse de rotation du moteur asynchrone à rotor bobiné au démarrage -



Chapitre II

MODELISATION DU ROTOR MASSIF PAR UN ENSEMBLE N
DE CIRCUITS LINEAIRES EQUIVALENTS

En chaque point du rotor, la densité volumique du courant possède trois composantes dans l'espace. Si on néglige les effets d'extrémités c'est à dire lorsqu'on admet que la longueur du rotor est suffisamment grande devant le pas polaire [13], le courant induit devient purement axial. Ce courant ne peut pénétrer instantanément à l'intérieur du rotor car l'inductance interne s'y oppose [8] : C'est l'effet pelliculaire.

En pratique, ce courant ne circule que dans une couche δ relativement mince, de 1 à 3mm au démarrage et de 5 à 15mm en régime permanent c'est à dire pour les glissements faibles [8].

La profondeur de pénétration est donnée par:

$$\delta = \sqrt{\frac{2}{\mu g \omega \sigma}}$$

Ainsi la résistance et la réactance du rotor varient avec le glissement et ont des valeurs maximales au démarrage.

[9]

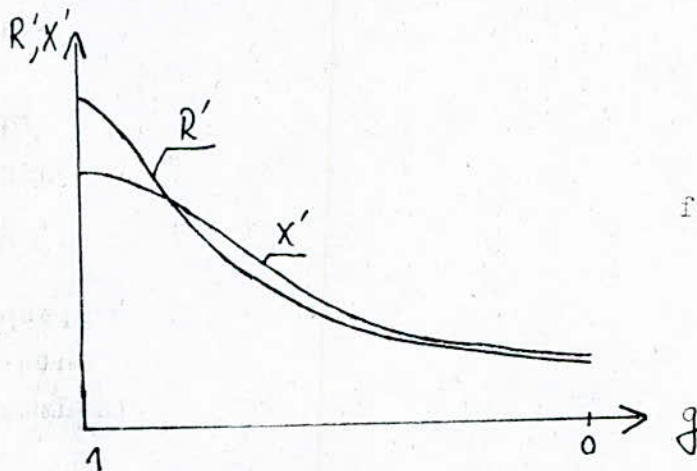


figure 1

R', X' résistance et réactance rotorique ramenées au stator.

Le rotor massif présente donc un circuit à paramètres dépendants, ce n'est pas le cas du rotor bobiné où l'effet pelliculaire est négligé. On ne peut donc appliquer directement l'étude des régimes transitoires des machines bobinées décrites au chapitre précédent, à la machine à rotor massif.

MODELISATION DU ROTOR

Nous nous proposons de remplacer le circuit du rotor par un ensemble de n circuits linéaires équivalents [3] fig2

Les paramètres de chaque circuit équivalent sont déterminés à l'aide de l'étude des réponses aux essais impulsionnels.

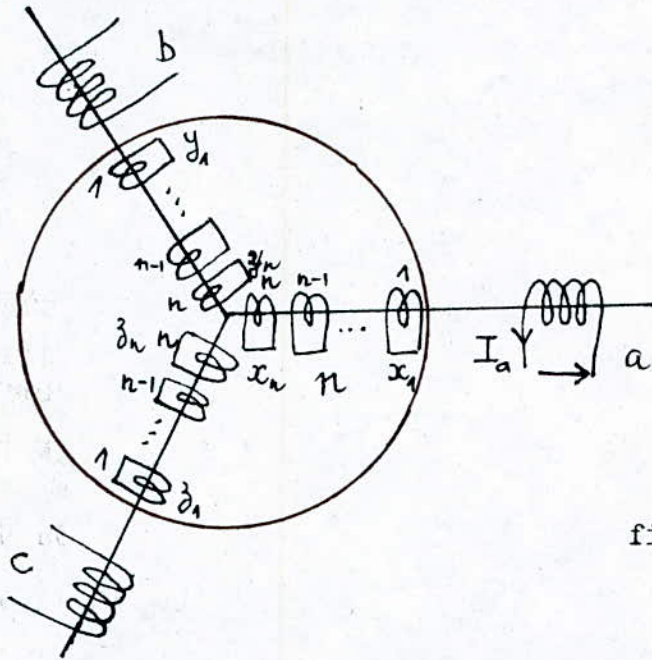


figure 2

Lorsque nous envoyons un échelon de tension dans une phase statorique, le courant $i_a(t)$ absorbé par la bobine statorique est de la forme générale :

$$i_a(t) = i_0 - \sum_{j=1}^m i_j e^{-t/\tau_j}$$

Pour les cas $n=1, 2$ et 3 , nous explicitons en annexe i_j ainsi que les différentes constantes de temps en fonction des paramètres de la machines.

ESSAIS INDICIELS

L'exploitation des courbes de courant et de tension relevées à l'oscilloscope permet l'identification des paramètres i_j et τ_j . Nous utilisons pour cela la méthode graphique suivante [1], [11].

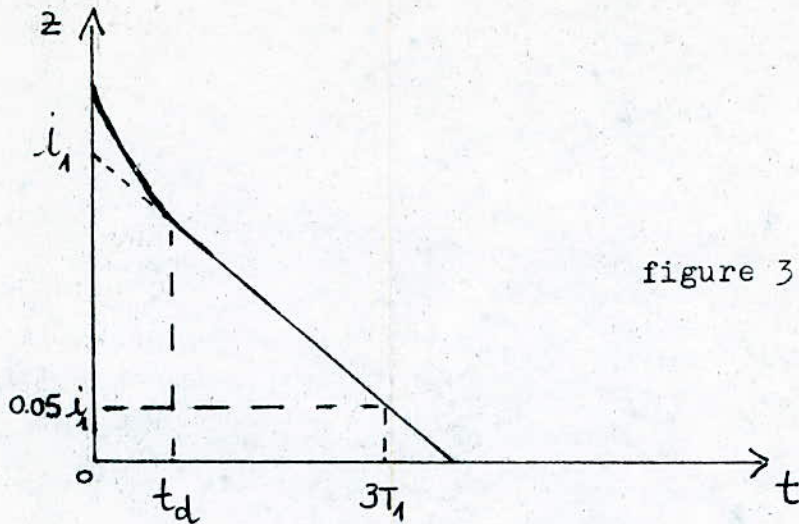
Soit la courbe $i(t)$ relevée expérimentalement et nous voulons l'identifier avec :

$$i_a(t) = i_0 - i_1 e^{-t/\tau_1} - i_2 e^{-t/\tau_2} - i_3 e^{-t/\tau_3} - i_4 e^{-t/\tau_4}$$

i_0 correspond à la valeur finale de $i_a(t)$ et nous pouvons la mesurer facilement.

On trace sur papier semi-logarithmique la fonction

$$Z_1(t) = i_0 - i_a(t) \quad (\text{figure 3})$$



Au bout du temps t_d , $Z_1(t)$ est pratiquement linéaire et l'extrapolation pour $t=0$ de cette droite donne i_1 , de plus l'ordonnée $0,05 i_1$ correspond au temps $t=3T_1$.

De la même manière, on obtient i_2 et T_2 à partir de la courbe :

$$Z_2(t) = Z_1(t) - i_1 e^{-t/T_1}$$

Tandis que i_m et T_m sont déduites de :

$$Z_m(t) = Z_{m-1}(t) - i_{m-1} e^{-t/T_{m-1}}$$

Cette méthode est d'autant plus précise que les T_j sont différents les uns des autres.

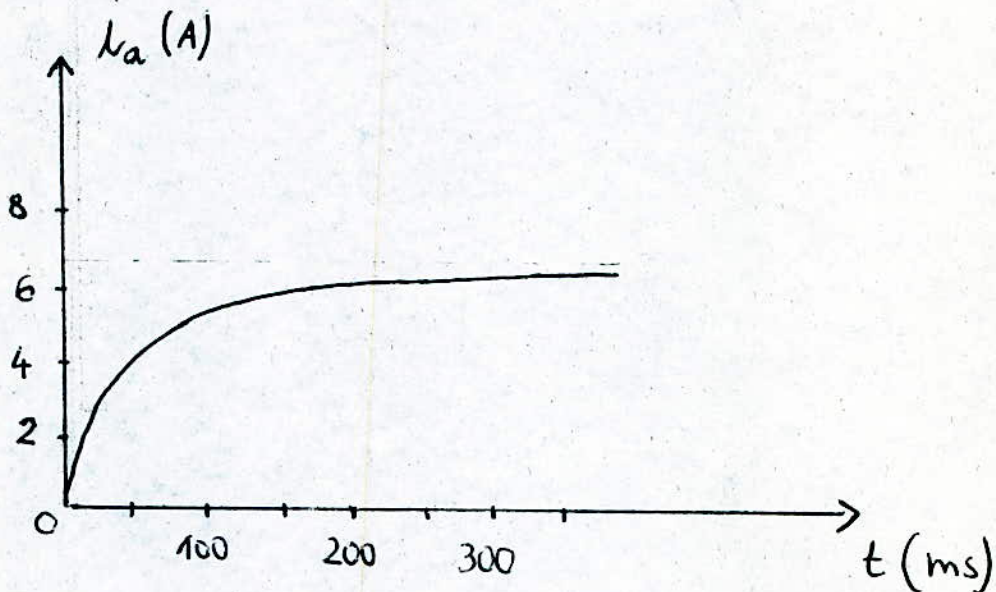


figure 4

Enregistrement du courant dans la bobine statorique.

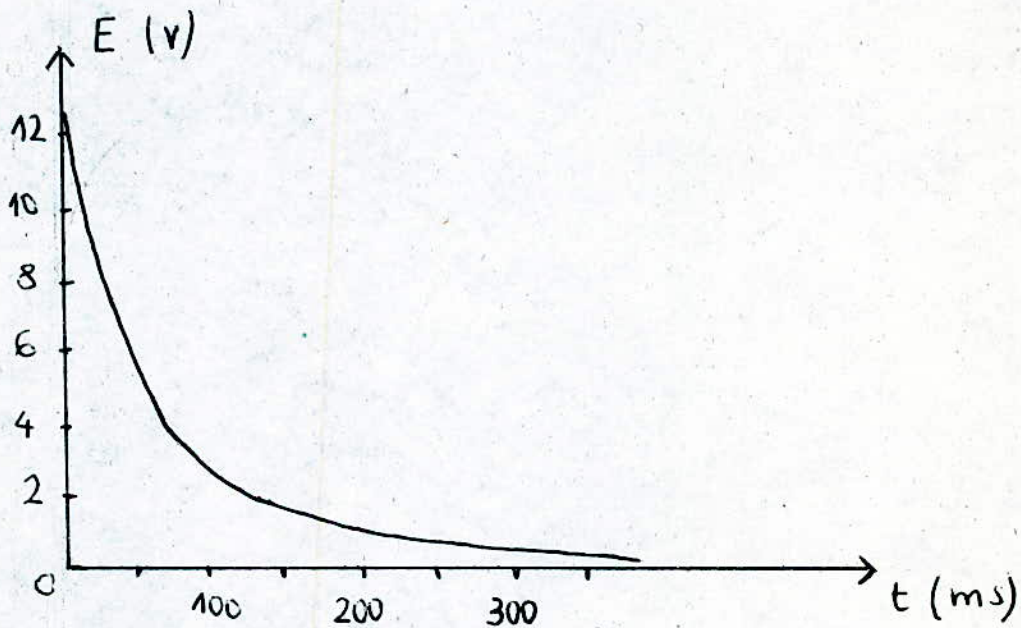


figure 5

Force électromotrice totale déduite des courbes $U(t)$ et $i_a(t)$.

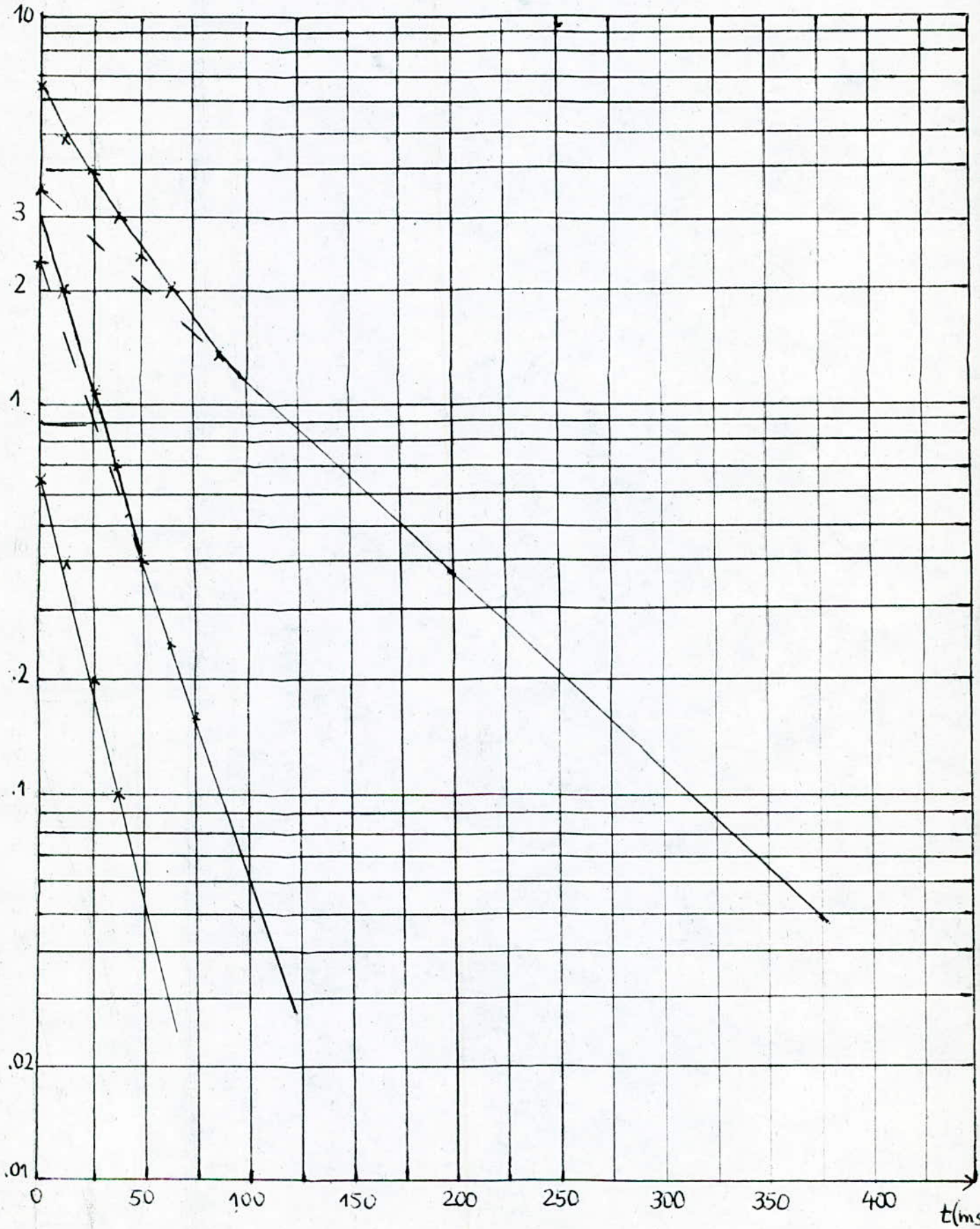
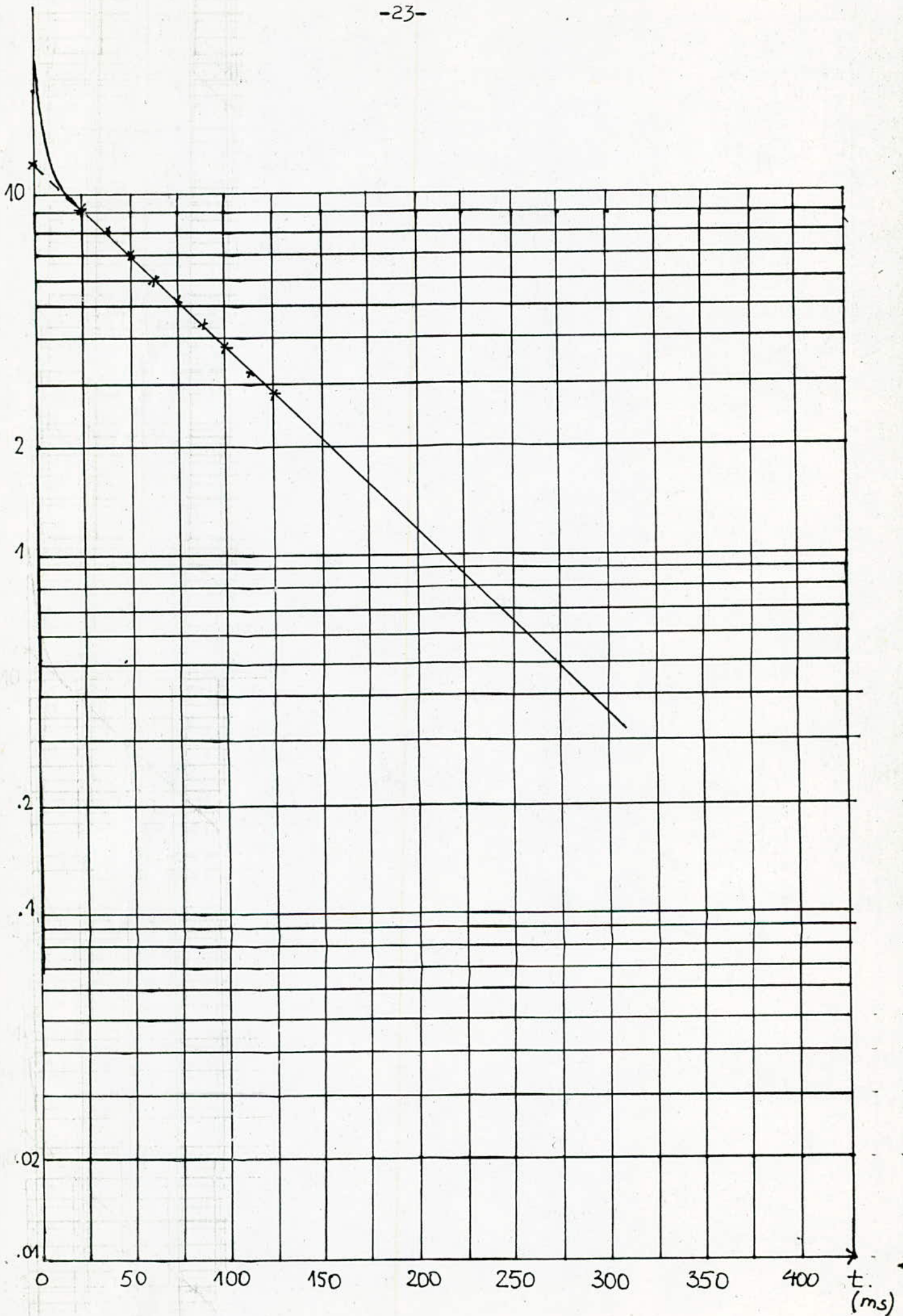


Figure 6



(figure 7)

La variation du courant statorique relevé expérimentalement est donné par la figure 4 et l'exploitation de la méthode graphique donne: (figure 6)

$$i_0 = 6,4 \text{ A}$$

$$i_1 = 3,4 \text{ A}$$

$$i_2 = 2,35 \text{ A}$$

$$i_3 = 0,65 \text{ A}$$

$$T_1 = 90 \text{ ms}$$

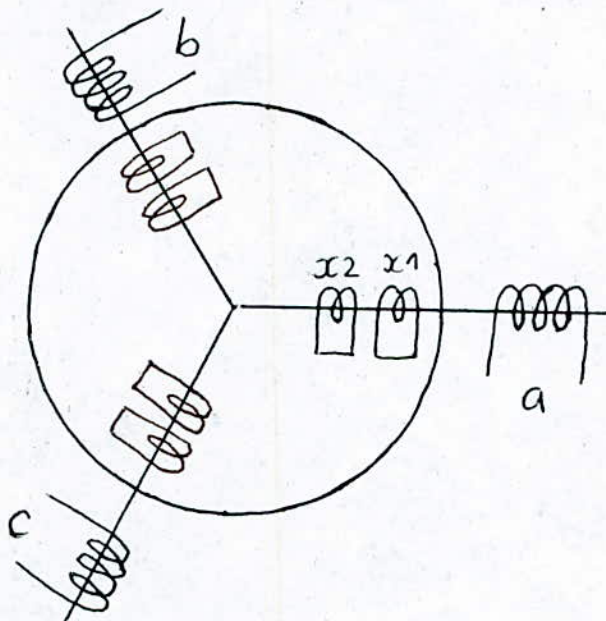
$$T_2 = 28 \text{ ms}$$

$$T_3 = 21 \text{ ms}$$

Le courant $i_a(t)$ peut s'écrire alors:

$$i_a(t) = 6,4 - 3,4 e^{-t/90} - 2,35 e^{-t/28} - 0,65 e^{-t/21}; [t(\text{ms})]$$

Cette expression correspond à un rotor à 2 circuits, ($m=2$) nous pouvons donc modéliser le rotor massif de machine étudiée par deux circuits linéaires équivalents .



PARAMETRES DE LA MACHINE A ROTOR MASSIF

Les paramètres des circuits linéaires équivalents sont obtenus par l'étude de la réponse impulsionnelle de la force électromotrice totale $E(t) = U(t) - Ri(t)$ déduite expérimentalement (figure 7) et qui peut être approchée par:

$$E(t) = E_m e^{-t/T_1}$$

$$E_m = 10,2 \text{ V}$$

$$E(p) = \frac{E_m}{p + P_1}$$

$$P_1 = \frac{1}{T_1} = 11,11 \text{ s}^{-1}$$

La f.e.m est relié directement au flux total à travers la bobine statorique par :

$$\frac{E_m}{p+p_1} = p \Phi_a \quad \dots(2)$$

avec

$$\Phi_a = L_a i_a + M_{sr1} i_{x1} + M_{sr2} i_{x2}$$

$$i_{x1} = \frac{\frac{2}{3} p^2 M_{sr2} M_r - \frac{2}{3} p M_{sr1} (R_{x2} + pL_{22})}{(L_{22} R_{x1} + L_{21} R_{x2}) p + R_{x1} R_{x2}} i_a$$

$$i_{x2} = \frac{\frac{2}{3} p^2 M_{sr1} M_r - \frac{2}{3} p M_{sr2} (R_{x1} + pL_{21})}{(L_{22} R_{x1} + L_{21} R_{x2}) p + R_{x1} R_{x2}} i_a$$

où L_a : représente l'inductance statorique

M_{sr1} : — / — L'inductance mutuelle cyclique entre les bobines statorique et rotorique r_1

M_{sr2} : représente l'inductance mutuelle cyclique entre les bobines statorique et rotorique r_2

M_r : représente l'inductance mutuelle cyclique entre les bobines rotorique r_1 et r_2

L_{21} : représente l'inductance cyclique de la bobine rotorique r_1

L_{22} : représente l'inductance cyclique de la bobine rotorique r_2

R_{x1} : est la résistance d'une bobine rotorique r_1

R_{x2} : est la résistance d'une bobine rotorique r_2

i_{x1} : est le courant dans la bobine rotorique r_1

i_{x2} : est le courant rotorique dans la bobine r_2

En remplaçant le flux Φ_a et les courants i_{x1} et i_{x2} par leurs expressions respectives on aura :

$$\frac{E_m}{P+P_1} = \left[pI_a + \frac{\frac{2}{3} p^3 M_{sr1} M_{sr2} M_r - \frac{2}{3} p^2 M_{sr1} M_{sr2} (R_{x2} + pL_{22})}{(R_{x1} L_{22} + R_{x2} L_{21}) p + R_{x1} R_{x2}} + \frac{\frac{2}{3} p^3 M_{sr1} M_{sr2} M_r - \frac{2}{3} p^2 M_{sr1} M_{sr2} (R_{x1} + pL_{21})}{(R_{x1} L_{22} + R_{x2} L_{21}) p + R_{x1} R_{x2}} \right] I_a$$

Nous déduisons donc l'expression de la transformée de la laplace du courant i_a

$$I_a = \frac{E_m}{P(P+P_1)} \frac{\left[(L_{21} R_{x2} + L_{22} R_{x1}) p + R_{x1} R_{x2} \right]}{\left[\left(\frac{2}{3} M_{sr1} M_{sr2} (2M_r - L_{21} - L_{22}) \right) p^2 - \left(L_a (L_{21} R_{x2} + L_{22} R_{x1}) - \frac{2}{3} M_{sr1} M_{sr2} (R_{x1} + R_{x2}) \right) p + L_a R_{x1} R_{x2} \right]}$$

....(3)

Cette expression peut se mettre sous la forme :

$$I_a = \frac{K}{P} \frac{(P+P_4)}{(P+P_1)(P+P_2)(P+P_3)} \quad \dots(4)$$

avec

$$K = \frac{E_m (L_{21} R_{x2} + L_{22} R_{x1})}{\frac{2}{3} M_{sr1} M_{sr2} (2M_r - L_{22} - L_{21})}$$

$$P_2 P_3 = \frac{L_a R_{x1} R_{x2}}{\frac{2}{3} M_{sr1} M_{sr2} (2M_r - L_{21} - L_{22})} \quad \dots(5)$$

$$P_2 + P_3 = \frac{R_{x1} L_{22} L_a + R_{x2} L_{21} L_a - \frac{2}{3} M_{sr1} M_{sr2} (R_{x1} + R_{x2})}{\frac{2}{3} M_{sr1} M_{sr2} (2 M_r - L_{21} - L_{22})} \dots (6)$$

On peut aussi écrire :

$$I_a = \frac{E_m [(L_{21} R_{x2} + L_{22} R_{x1}) p + R_{x1} R_{x2}]}{p(p + p_1) [b p^2 - a p + c]}$$

avec

$$P_{2,3} = \frac{1}{2} \left[\frac{a}{b} \pm \sqrt{\frac{a^2}{b^2} - \frac{c}{b}} \right]$$

c'est à dire

$$(2 P_3)^2 b - 4 P_3 a = -c \dots (7)$$

$$(2 P_2)^2 b - 4 P_2 a = -c \dots (8)$$

A partir d'un glissement relativement faible, la résistance et la réactance du rotor sont pratiquement égales (fig 1), [9] et on peut admettre

$$R_{x1} = L_{21} \omega g$$

$$R_{x2} = L_{22} \omega g$$

En admettant qu'il n'y a pas de dispersion entre les bobines rotoriques r_1 et r_2 on a alors;

$$M_r^2 = L_{21} L_{22}$$

Les expressions (5), (6), (7) et (8) permettent alors le calcul des paramètres des circuits rotoriques équivalents .

Nous avons ;

$$P_1 = 1/ T_1 = 11,11 \text{ s}^{-1}$$

$$P_2 = 1/ T_2 = 35,71 \text{ s}^{-1}$$

$$P_3 = 1/ T_3 = 47,62 \text{ s}^{-1}$$

$$L_a = 0,04 \text{ H (obtenue à faible tension alternative)}$$

$$E_m = 10,2 \text{ V}$$

En remplaçant ces constantes dans (5), (6), (7) et (8) nous obtenons :

$$L_{21} = 0,02 \text{ H}$$

$$L_{22} = 0,667 \text{ H}$$

$$M_{sr1} = 0,028 \sqrt{1 - \sigma_{sr1}}$$

$$M_{sr2} = 0,16 \sqrt{1 - \sigma_{sr2}}$$

$$M_r = 0,16 \text{ H}$$

où σ_{sr1} est le coefficient de dispersion entre les bobines statoriques et celles rotoriques r_1 et σ_{sr2} est le coefficient de dispersion entre les bobines statoriques et celles rotoriques r_2

PARAMETRES MECANIQUES

Moment d'inertie	: $J = 0,1 \text{ kg.m}^2$
Coefficient de frottement	: $f = 0,01 \text{ N.M.S/RAD}$
nombre de paires de poles	: $P = 1$

Chapitre III

ETUDE DES REGIMES TRANSITOIRES DE LA
MACHINE A ROTOR MASSIF

La machine asynchrone à rotor massif dont nous allons étudier la mise en équation correspond à la structure de principe schématisé sur la figure 1. Nous retrouvons les mêmes propriétés et transformations étudiées au chapitre 1 à propos de la machine asynchrone à rotor bobiné.

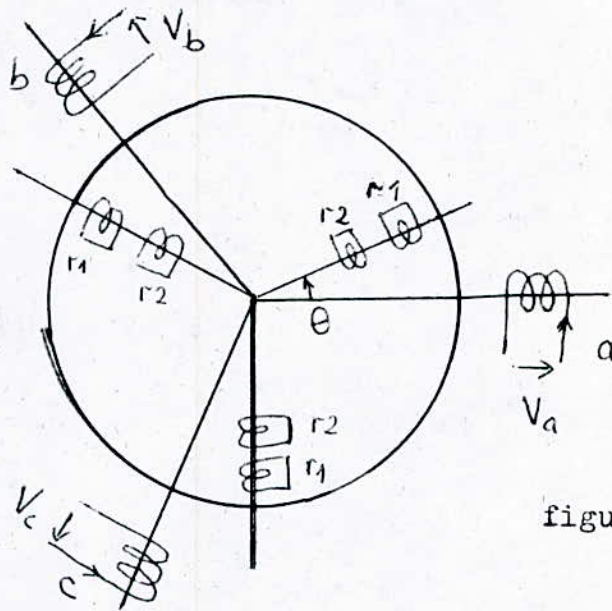


figure 1

l'expression liant les flux et les courants est donnée par la relation suivante exprimée sous forme matricielle

$$\begin{bmatrix} \Phi_{abc}^s \\ \Phi_{x_1 y_1 z_1}^r \\ \Phi_{x_2 y_2 z_2}^r \end{bmatrix} = \begin{bmatrix} L_s & \underline{\underline{L}}^{sr1} & \underline{\underline{L}}^{sr2} \\ \underline{\underline{L}}^{rs} & L_{x1} & \underline{\underline{L}}^{rr} \\ \underline{\underline{L}}^{r2s} & \underline{\underline{L}}^{rr} & L_{x2} \end{bmatrix} \begin{bmatrix} I_{abc}^s \\ I_{x_1 y_1 z_1}^r \\ I_{x_2 y_2 z_2}^r \end{bmatrix}$$

$$L_s = \begin{bmatrix} L_a & M_s & M_s \\ M_s & L_a & M_s \\ M_s & M_s & L_a \end{bmatrix}; \quad L_{x_{1,2}} = \begin{bmatrix} L_{x_{1,2}} & M_r & M_r \\ M_r & L_{x_{1,2}} & M_r \\ M_r & M_r & L_{x_{1,2}} \end{bmatrix}$$

$$\underline{\underline{L}}^{sr_{1,2}} = M_{sr_{1,2}} \begin{bmatrix} \cos \theta & \cos(\theta + \frac{2\pi}{3}) & \cos(\theta + \frac{4\pi}{3}) \\ -\cos(\theta - \frac{2\pi}{3}) & \cos \theta & \cos(\theta + \frac{2\pi}{3}) \\ \cos(\theta - \frac{4\pi}{3}) & \cos(\theta - \frac{2\pi}{3}) & \cos \theta \end{bmatrix}; \underline{\underline{L}}^{rr} = M_r \begin{bmatrix} 1 & \frac{\cos 2\pi}{3} & \frac{\cos 4\pi}{3} \\ \cos(\frac{-2\pi}{3}) & 1 & \frac{\cos 2\pi}{3} \\ \cos(\frac{-4\pi}{3}) & \cos(\frac{-2\pi}{3}) & 1 \end{bmatrix}$$

Les équations électriques sont:

$$(2) \begin{cases} V_{abc}^s = R_a I_{abc}^s + \frac{d}{dt} \left[L_1 I_{abc}^s + \underline{\underline{L}}^{sr1} I_{x_1 y_1 z_1}^r + \underline{\underline{L}}^{sr2} I_{x_2 y_2 z_2}^r \right] \\ 0 = R_{x1} I_{x_1 y_1 z_1}^r + \frac{d}{dt} \left[\underline{\underline{L}}^{rs} I_{abc}^s + L_{21} I_{x_1 y_1 z_1}^r + \underline{\underline{L}}^{rr} I_{x_2 y_2 z_2}^r \right] \\ 0 = R_{x2} I_{x_2 y_2 z_2}^r + \frac{d}{dt} \left[\underline{\underline{L}}^{r2s} I_{abc}^s + \underline{\underline{L}}^{rr} I_{x_1 y_1 z_1}^r + L_{22} I_{x_2 y_2 z_2}^r \right] \end{cases}$$

avec

$$\begin{aligned} L_1 &= L_a - M_s \\ L_{21} &= L_{x1} - M_r \\ L_{22} &= L_{x2} - M_r \end{aligned}$$

D'autre part, l'équation mécanique du moteur est donnée par:

$$J \frac{d^2 \theta}{dt} = \Gamma_{em} - \Gamma_r \dots (3)$$

En prenant comme origine des temps, l'instant où les axes du rotor coïncident avec ceux du stator. L'expression (3) redevient:

$$J \frac{d\Omega}{dt} = {}^t I_{abc}^s \frac{d \underline{\underline{L}}^{sr1}}{dt} I_{x_1 y_1 z_1}^r + {}^t I_{abc}^s \frac{d \underline{\underline{L}}^{sr2}}{dt} I_{x_2 y_2 z_2}^r - \Gamma_r \dots (4)$$

avec

$$\theta = p \Omega t + \theta_0$$

EQUATIONS DE FONCTIONNEMENT DU MOTEUR BIPHASE EQUIVALENT

Les équations du moteur biphasé équivalent dans le repère lié au stator sont obtenues en appliquant les transformations de CONCORDIA et de PARK (voir chapitre 1) aux tensions et courants triphasés dans (3) et (4), on obtient :

$$(5) \left\{ \begin{aligned} V_{\alpha\beta}^s &= R_a I_{\alpha\beta}^s + \frac{d}{dt} \left[L_{11} I_{\alpha\beta}^s + M_{sr1} I_{\alpha_1\beta_1}^r + M_{sr2} I_{\alpha_2\beta_2}^r \right] \\ 0 &= R_{r1} I_{\alpha_1\beta_1}^r + M_{sr1} \left[\frac{d}{dt} I_{\alpha\beta}^s - p\Omega D(\frac{\pi}{2}) I_{\alpha\beta}^s \right] + L_{21} \left[\frac{d}{dt} I_{\alpha_1\beta_1}^r - p\Omega D(\frac{\pi}{2}) I_{\alpha_1\beta_1}^r \right] \\ &\quad + M_{r1} \left[\frac{d}{dt} I_{\alpha_2\beta_2}^r - p\Omega D(\frac{\pi}{2}) I_{\alpha_2\beta_2}^r \right] \\ 0 &= R_{r2} I_{\alpha_2\beta_2}^r + M_{sr2} \left[\frac{d}{dt} I_{\alpha\beta}^s - p\Omega D(\frac{\pi}{2}) I_{\alpha\beta}^s \right] + M_{r2} \left[\frac{d}{dt} I_{\alpha_1\beta_1}^r - p\Omega D(\frac{\pi}{2}) I_{\alpha_1\beta_1}^r \right] \\ &\quad + L_{22} \left[\frac{d}{dt} I_{\alpha_2\beta_2}^r - p\Omega D(\frac{\pi}{2}) I_{\alpha_2\beta_2}^r \right] \end{aligned} \right.$$

$$\frac{d\Omega}{dt} = \frac{p}{J} \left[M_{sr1} (I_{\alpha_1}^r I_{\beta_1}^s - I_{\alpha_1}^s I_{\beta_1}^r) + M_{sr2} (I_{\alpha_2}^r I_{\beta_2}^s - I_{\alpha_2}^s I_{\beta_2}^r) \right] - \frac{\Gamma_r}{J} \dots (6)$$

Les équations (5) peuvent s'exprimer sous forme matricielle

$$V = AJ + \frac{dJ}{dt} \dots (7)$$

avec

$$\mathcal{G}^t = \begin{bmatrix} V_\alpha^s & V_\beta^s & 0 & 0 & 0 & 0 \end{bmatrix}$$

$$\mathcal{J} = \begin{bmatrix} I_\alpha^s & I_\beta^s & I_{\alpha_1}^r & I_{\beta_1}^r & I_{\alpha_2}^r & I_{\beta_2}^r \end{bmatrix}$$

$$A = \begin{bmatrix} R_a & 0 & 0 & 0 & 0 & 0 \\ 0 & R_a & 0 & 0 & 0 & 0 \\ 0 & p\Omega M_{sr1} & R_{x1} & p\Omega L_{21} & 0 & p\Omega M_r \\ -p\Omega M_{sr1} & 0 & -p\Omega L_{21} & R_{x1} & -p\Omega M_r & 0 \\ 0 & p\Omega M_{sr2} & 0 & p\Omega M_r & R_{x2} & p\Omega L_{22} \\ -p\Omega M_{sr2} & 0 & -p\Omega M_r & 0 & -p\Omega L_{22} & R_{x2} \end{bmatrix}$$

$$B = \begin{bmatrix} L_1 & 0 & M_{sr1} & 0 & M_{sr2} & 0 \\ 0 & L_1 & 0 & M_{sr1} & 0 & M_{sr2} \\ M_{sr1} & 0 & L_{21} & 0 & M_r & 0 \\ 0 & M_{sr1} & 0 & L_{21} & 0 & M_r \\ M_{sr2} & 0 & M_r & 0 & L_{22} & 0 \\ 0 & M_{sr2} & 0 & M_r & 0 & L_{22} \end{bmatrix}$$

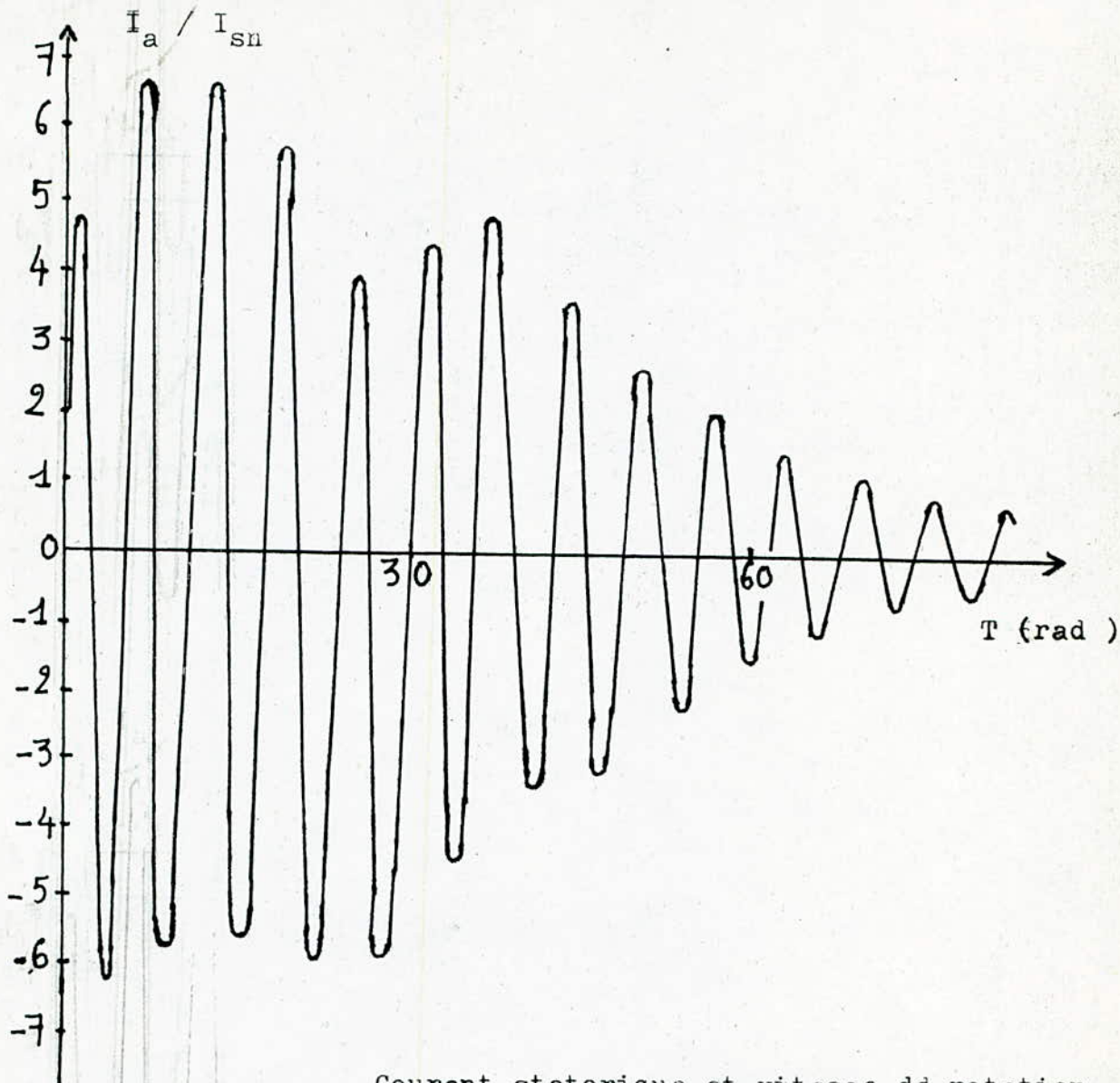
Ce système matriciel s'écrit aussi sous la forme :

$$\frac{d\mathcal{Y}}{dt} = A_1 \mathcal{Y} + B_1 \mathcal{V}_{\alpha\beta}^s$$

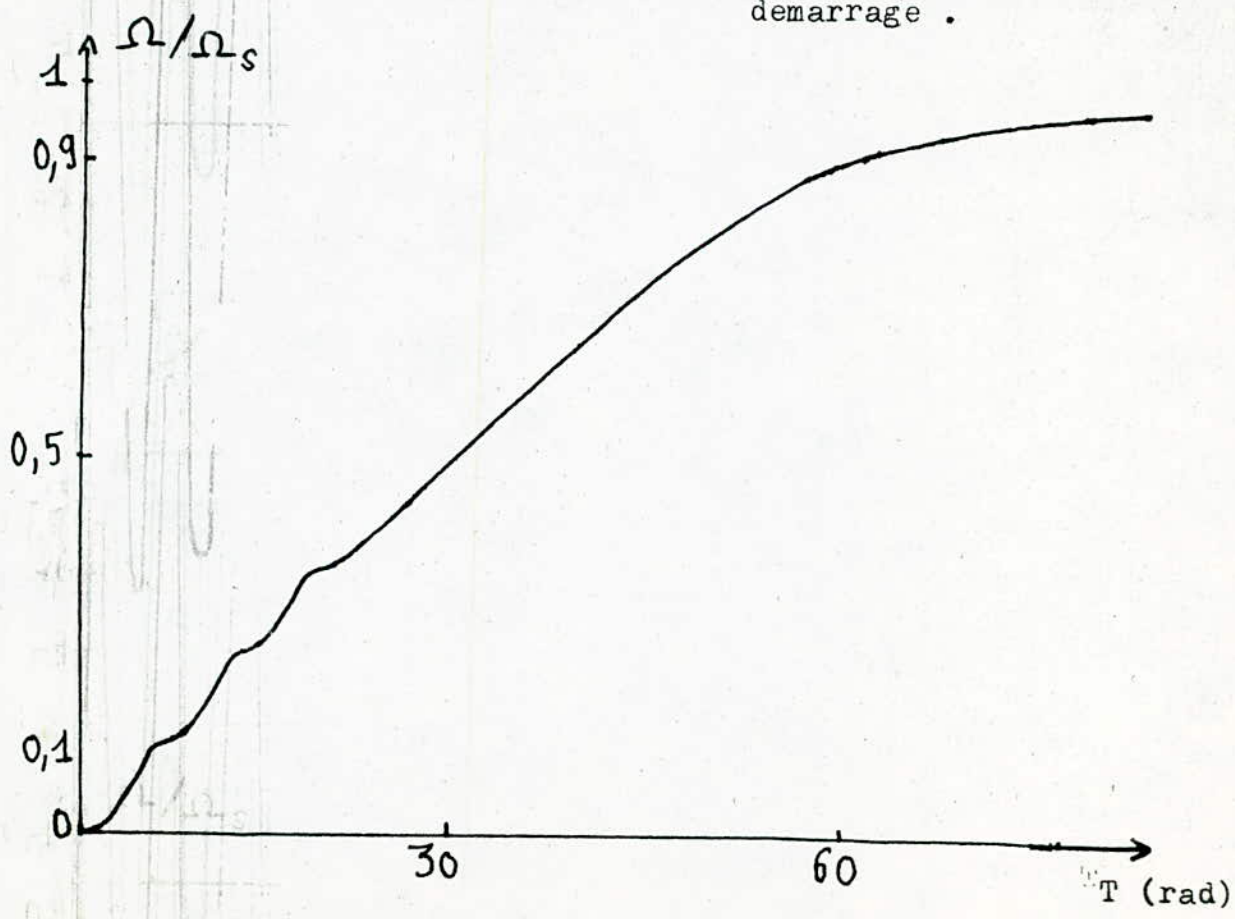
En utilisant les paramètres de la machine étudiée on obtient:

$$A_1 = \begin{bmatrix} -7,2 & 0,21 \Omega & 2,24 & 0,33 \Omega & 1,39 & 0,32 \Omega \\ -0,21 \Omega & -7,2 & -0,33 \Omega & 2,24 & -0,32 \Omega & 1,39 \\ 2,63 & -0,44 \Omega & 5,6 & 1,12 \Omega & -11 & -0,11 \Omega \\ 0,44 \Omega & 2,63 & 1,12 \Omega & 5,6 & 0,11 \Omega & -11 \\ 2 & -0,34 \Omega & -13,8 & -0,09 \Omega & 5,9 & -1,1 \Omega \\ 0,34 \Omega & 2 & 0,09 \Omega & -13,8 & 1,1 \Omega & 5,9 \end{bmatrix}$$

$$B_1 = \begin{bmatrix} 8,67 & 0 \\ 0 & 8,67 \\ -3,18 & 0 \\ 0 & -3,18 \\ -2,48 & 0 \\ 0 & -2,48 \end{bmatrix}$$



Courant statorique et vitesse de rotation du moteur asynchrone à rotor massif au démarrage .



CONCLUSION

La détermination des contraintes électriques et mécaniques d'un moteur asynchrone à rotor bobiné lors de certains régimes sévères, en particulier le démarrage, peuvent être étudiées par la simulation numérique sans avoir recours à des manipulations souvent nuisibles à la machine.

Par contre, cette méthode numérique ne peut être appliquée directement à la machine à rotor massif. Le circuit rotorique, inaccessible, présente une non-linéarité de ces paramètres. De ce fait, on a modélisé le circuit rotorique par deux circuits linéaires équivalents par la méthode des réponses indicielles. L'enregistrement du courant statorique nous a permis de trouver le nombre de circuits linéaires équivalents. La connaissance des paramètres de chaque circuit linéaire équivalent, calculés à partir de la courbe de la force électromotrice totale déduite des enregistrements du courant et de la tension statorique, nous a donné la possibilité d'utiliser la méthode numérique pour l'étude du régime transitoire (démarrage) de la machine à rotor massif.

Les enregistrements du courant et de la vitesse relevés à partir des machines étudiées, fonctionnant à tension nominale, ont montré la similitude entre le modèle mathématique utilisé et le système réel.

Annexe.


```

-----
*
* DEMARRAGE DU MOTEUR ASYNCHRONE
* A ROTOR BOBINE
*
-----

```

```

SUBROUTINE OTA(Y,VT,K)
COMMON PA,CAP,X2,XM,A1,A2,A3,A4,A5,A6,A7,A8,A9,A10,A11
REAL Y(5),K(5)
V1=COS(VT)
V2=SIN(VT)
B1=A2*Y(5)
B2=A4*Y(5)
B3=A6*Y(5)
B4=A8*Y(5)
K(1)=PA*CAP*(X2*V1-A1*Y(1)+B1*Y(2)+A3*Y(3)+B2*Y(4))
K(2)=PA*CAP*(X2*V2-B1*Y(1)-A1*Y(2)-B2*Y(3)+A3*Y(4))
K(3)=PA*CAP*(-XM*V1+A5*Y(1)-B3*Y(2)-A7*Y(3)-B4*Y(4))
K(4)=PA*CAP*(-XM*V2+B3*Y(1)+A5*Y(2)+B4*Y(3)-A7*Y(4))
K(5)=PA*CAP*(Y(2)*Y(3)-Y(1)*Y(4))-PA*(A10+A11)*Y(5)
RETURN
END

```

```

REAL P(3000),Y(5000),S(1000),K(5000)
COMMON PA,CAP,X1,XM,A1,A2,A3,A4,A5,A6,A7,A8,A9,A10,A11
DIMENSION YR(400)
DONNEES DE LA MACHINE
REAL V1N,AI1N,V2N,AI2N,PE,RR1,RR2,AL1,AL2,AM,AJ,FROT,AKR
W=100.*PI

```

```

PARAMETRES DE LA MACHINE
SN=3*V1N*AI1N
COUPLEN=SN*PE/W
Z1N=V1N/AI1N
Z2N=V2N/AI2N
ZMM=V1N/AI2N

```

```

PARAMETRES REDUITS DE LA MACHINE
R1=RR1/Z1N ;R2=RR2/Z2N;X1=AL1*W/Z1N;X2=AL2*W/Z2N;XM=AM*W/ZMM
A1=R1*X2;A2=XM**2;A3=R2*XM;A4=X2*XM
A5=R1*XM;A6=X1*XM;A7=R2*X1;A8=X1*X2
H=AJ*W/(COUPLEN*PE);FF=FROT*W/(COUPLEN*PE);CC=AKR*W/(COUPLEN*PE)
A9=XM/(H*W);A10=FF/(H*W);A11=(CC)/(H*W);CAP=1./(X1*X2-XM**2)

```

```

LE PAS,TEMPS FINAL D'EXECUTION
PA=.2
TF=200.

```

```

PROGRAMME RUNGE-KUTTA
DO 1 J=1,5
S(J)=0.
1 CONTINUE
VT=0.
J=1.
2 DO 10 J=1,5
Y(J)=S(J)
10 CONTINUE
CALL OTA (Y,VT,K)
DO 20 J=1,5
P(J)=K(J)
Y(J)=S(J)+.5*K(J)

```


(SUITE PROGRAMME)

```
20  CONTINUE
    VT=VT+.5*PA
    CALL OTA (Y,VT,K)
    DO 25 J=1,5
    P(J)=P(J)+2*K(J)
    Y(J)=S(J)+.5*K(J)
25  CONTINUE
    CALL OTA (Y,VT,K)
    DO 30 J=1,5
    P(J)=P(J)+2*K(J)
    Y(J)=S(J)+K(J)
30  CONTINUE
    VT=VT+.5*PA
    CALL OTA (Y,VT,K)
    DO 35 J=1,5
    Y(J)=S(J)+(1./6)*(P(J)+K(J))
35  CONTINUE
    YR(1)=.8165*Y(1)
    YR(2)=-.408248*Y(1)+.7071067*Y(2)
    PRINT*,YR(1),YR(2),Y(5),VT
    DO 40 J=1,5
    S(J+1)=Y(J)
40  CONTINUE
    J=J+1
    IF(VT.LT.TF) GOTO 2
    STOP
    END
```

EXPRESSION DU COURANT STATORIQUE POUR DIFFERENT
NOMBRE DE CIRCUITS LINEAIRES AU ROTOR

$n = 1$

Les équations régissant le système sont

$$\begin{cases} \frac{U}{p} = p\Phi_a + R_a I_a \\ 0 = p\Phi_x + R_x I_x \\ 0 = p\Phi_y + R_x I_y \\ 0 = p\Phi_z + R_x I_z \end{cases} \dots(1)$$

Les flux d'enroulements et les courants sont liés par :

$$\begin{bmatrix} \Phi_a \\ \Phi_x \\ \Phi_y \\ \Phi_z \end{bmatrix} = \begin{bmatrix} L_a & M_{ax} & M_{ay} & M_{az} \\ M_{ax} & L_x & M_r & M_r \\ M_{ay} & M_r & L_x & M_r \\ M_{az} & M_r & M_r & L_x \end{bmatrix} \begin{bmatrix} I_a \\ I_x \\ I_y \\ I_z \end{bmatrix} \dots(2)$$

En éliminant I_x, I_y et I_z on obtient I_a qui peut se mettre sous la forme :

$$I_a(p) = \frac{k(p+A)}{p(p+B)(p+C)} \dots(3)$$

$L_2 = L_x - M_r$ inductance cyclique d'une bobine rotorique
 $M_{sr} = \frac{3}{2} M_{sr}$ inductance cyclique mutuelle entre les bobines statorique et rotorique

$$K = \frac{U L_2}{L_1 L_2 - \frac{3}{2} M_{sr}^2} ; \quad A = \frac{R_x}{L_2}$$

$$BC = \frac{R_a R_x}{L_1 L_2 - \frac{3}{2} M_{sr}^2} ; \quad B+C = \frac{L_1 R_x + R_a L_2}{L_1 L_2 - \frac{3}{2} M_{sr}^2}$$

La transformée inverse de $I_a(p)$ est de la forme :

$$i_a(t) = i_0 - i_1 e^{-t/T_1} - i_2 e^{-t/T_2}$$

$$i_0 = K \frac{A}{BC} ; \quad i_1 = \frac{K(A-B)}{B(C-B)} ; \quad i_2 = \frac{K(A-C)}{C(B-C)}$$

$$T_1 = \frac{1}{B} ; \quad T_2 = \frac{1}{C}$$

$n = 2$

Les équations électriques régissant le système sont:

$$\begin{cases} \frac{U}{p} = R_a I_a + p \Phi_a \\ 0 = R_{x1} I_{x1} + p \Phi_{x1} \quad \dots\dots(5) \\ 0 = R_{x2} I_{x2} + p \Phi_{x2} \end{cases}$$

Les flux d'enroulements des trois bobines a, x_1 , x_2 sont lié par :

$$\begin{cases} \Phi_a = L_a I_a + \frac{3}{2} M_{sr1} I_{x1} + \frac{3}{2} M_{sr2} I_{x2} \\ \Phi_{x1} = M_{sr1} I_a + \left(L_{x1} + \frac{M_r}{2} \right) I_{x1} + \frac{3}{2} M_r I_{x2} \quad \dots\dots(6) \\ \Phi_{x2} = M_{sr2} I_a + \frac{3}{2} M_r I_{x1} + \left(L_{x2} + \frac{M_r}{2} \right) I_{x2} \end{cases}$$

Soit

- $L_{21} = L_{x1} + \frac{M_r}{2}$: L'inductance cyclique de la bobine rotorique r_1
 $L_{22} = L_{x2} + \frac{M_r}{2}$: L'inductance cyclique de la bobine rotorique r_2
 $M_{sr1} = \frac{3}{2} M_{sr1}$: L'inductance cyclique mutuelle entre les bobines statorique et celles rotoriques r_1
 $M_{sr2} = \frac{3}{2} M_{sr2}$: L'inductance cyclique mutuelle entre les bobines statorique et celles rotoriques r_2
 $M_r = \frac{3}{2} M_r$: L'inductance cyclique mutuelle entre les bobines rotorique

Les courants rotoriques sont donné par

$$I_{x1} = \frac{\frac{2}{3} p^2 M_{sr2} M_r - \frac{2}{3} p M_{sr1} (R_{x2} + pL_{22})}{(R_{x1} + pL_{21})(R_{x2} + pL_{22}) - p^2 M_r^2} I_a$$

$$I_{x2} = \frac{\frac{2}{3} p^2 M_{sr1} M_r - \frac{2}{3} p M_{sr2} (R_{x1} + pL_{21})}{(R_{x1} + pL_{21})(R_{x2} + pL_{22}) - p^2 M_r^2} I_a$$

En remplaçant I_{x1} et I_{x2} par leurs expressions dans (5) et (6) on obtient :

$$I_a(p) = \frac{U [(R_{x1} + pL_{21})(R_{x2} + pL_{22}) - p^2 M_r^2]}{P [(R_a + pL_a)(R_{x1} + pL_{21})(R_{x2} + pL_{22}) - p^2 M_r^2 (R_a + pL_a) + \dots \frac{4}{3} M_{sr1} M_{sr2} M_r p^3 - \frac{2}{3} p M_{sr1} (R_{x2} + pL_{22}) - \frac{2}{3} p M_{sr2} (R_{x1} + pL_{21}) \dots (7)}$$

L'expression (7) peut être mise sous la forme:

$$I_a(p) = k \frac{(p + p_4)(p + p_5)}{p(p + p_1)(p + p_2)(p + p_3)}$$

avec

$$K = \frac{U(L_{21}L_{22} - M_{br}^2)}{L_1L_{21}L_{22} + \frac{4}{3}M_{br1}M_{br2}M_{br} - \frac{2}{3}M_{br1}L_{22} - \frac{2}{3}M_{br2}L_{21}}$$

La transformée inverse de $I_a(p)$ est donnée par:

$$i_a(t) = i_0 - i_1 e^{-t/T_1} - i_2 e^{-t/T_2} - i_3 e^{-t/T_3} \dots (8)$$

où

$$i_0 = K \frac{P_4 P_5}{P_1 P_2 P_3} \quad ; \quad i_1 = \frac{K(P_1 + P_4)(P_1 + P_5)}{P_1(P_1 + P_2)(P_1 + P_3)}$$

$$i_2 = K \frac{(P_2 + P_4)(P_2 + P_5)}{P_2(P_2 + P_3)(P_2 + P_1)} \quad ; \quad i_3 = \frac{K(P_3 + P_4)(P_3 + P_5)}{P_3(P_1 + P_3)(P_3 + P_2)}$$

$$T_1 = \frac{1}{P_1} \quad ; \quad T_2 = \frac{1}{P_2} \quad ; \quad T_3 = \frac{1}{P_3}$$

$n = 3$

Les équations électriques du système sont :

$$\left\{ \begin{array}{l} \frac{U}{p} = R_a I_a + p \Phi_a \\ 0 = R_{x_1} I_{x_1} + p \Phi_{x_1} \\ 0 = R_{x_2} I_{x_2} + p \Phi_{x_2} \\ 0 = R_{x_3} I_{x_3} + p \Phi_{x_3} \end{array} \right. \dots; (9)$$

Les flux d'enroulements des bobines a, x_1 , x_2 sont liés au courants par :

$$\left\{ \begin{array}{l} \Phi_{I_a} = L_a I_a + M_{sr1} I_{x_1} + M_{sr2} I_{x_2} + M_{sr3} I_{x_3} \\ \Phi_{I_{x_1}} = \frac{2}{3} M_{sr1} I_a + L_{21} I_{x_1} + M_r I_{x_2} + M_r I_{x_3} \\ \Phi_{I_{x_2}} = \frac{2}{3} M_{sr2} I_a + M_r I_{x_1} + L_{22} I_{x_2} + M_r I_{x_3} \\ \Phi_{I_{x_3}} = \frac{2}{3} M_{sr3} I_a + M_r I_{x_1} + M_r I_{x_2} + L_{23} I_{x_3} \end{array} \right. \dots (10)$$

En éliminant I_{x_1} , I_{x_2} et I_{x_3} des expressions (9) et (10) on obtient :

$$I_a(p) = \frac{U}{p} \frac{A_3 D}{\left[(R_a + pL_a) D A_3 - \frac{2}{3} p^2 M_r M_{sr1} A_3 A_2^2 - \frac{2}{3} p^2 M_r M_{sr2} A_1 A_2 A_3 - \frac{2}{3} p^2 M_r M_{sr3} A_2^2 A_1 \right]} \dots (11)$$

avec

$$A_1 = R_{x_1} + p(L_{21} - M_r)$$

$$A_2 = R_{x_2} + p(L_{22} - M_r)$$

$$A_3 = R_{x_3} + p(L_{23} - M_r)$$

$$D = (R_{x_2} + pL_{22}) A_1 A_3 - p^2 M_r^2 [R_{x_2} + R_{x_3} + p(L_{22} + L_{23} - 2M_r)]$$

l' expression (11) s'écrit aussi de la forme :

$$I_a(p) = \frac{K}{p} \frac{(p+p_6)(p+p_7)(p+p_8)(p+p_9)}{(p+p_1)(p+p_2)(p+p_3)(p+p_4)(p+p_5)} \dots (12)$$

La transformée inverse de cette expression est donnée par:

$$i_a(t) = i_0 - i_1 e^{-t/T_1} - i_2 e^{-t/T_2} - i_3 e^{-t/T_3} - i_4 e^{-t/T_4} - i_5 e^{-t/T_5} \dots (13)$$

$$\text{avec } T_i = \frac{1}{p_i} \quad i = 1, 5$$

BIBLIOGRAPHIE

- [1] J.Lesne F.Notelet G.Séguier
"Introduction à l'électrotechnique approfondie"
Edition: technique et documentation. (année 1981)
- [2] P.Barret
"Régimes transitoires des machines tournantes électriques"
Edition: Eyrolles (année 1982)
- [3] P.Barret
"Les grands alternateurs en régime transitoire"
R.G.E. Décembre 1967
- [4] F.Cahen
"la répartition des courants dans les conducteurs massifs, effet kelvin, courants de foucault.
Electrotechnique générale. 1^{ere} édition, 6-1951
- [5] G.F.T.Widger, B.Sc., D.I.C., and B.Adkins, M.A., D.SC, C.Eng.
"Starting performance of synchronous motors with solid salient poles"
PROC.IEE Vol .115, No.10, October 1968
- [6] B.J.Chalmers & A.M.Saleh
"Analyses of solid-rotor induction machines"
IEE PROCEEDINGS.Vol 131 No 1, January 1984
- [7] G.Darrieus
"Contribution à l'étude du comportement des alternateurs à rotor massif en régime transitoire ou asynchrone"
R.G.E. Décembre 1967
- [8] A.Ivanov-Smolenski
"Machines électriques"
Edition Moscou Mir 1983
- [9] M.Belamri & L.Bouras
"Etude de la machine asynchrone à rotor massif lisse"
P.F.E, E.N.P.A Janvier 1983
- [10] Hak Lay Hy
"Contribution à l'étude du moteur asynchrone en régime variable"
Thèse de Docteur ingénieur. Université de Nancy I (1976)
- [11] O.Benzaid & A.Mérighed
"Identification d'une machine synchrone"
P.F.E, E.N.P.A Juin 1983

[12] H.Moulai & F.Assam

"Etude par simulation numérique du moteur asynchrone
en régime variable.-Demarrage

-Défaut de tension d'alimentation"

P.F.E, E.N.P.A. Juin 1985

[13] N.Mouss & D.Sator

"Effets d'extrémités dans une machine asynchrone à rotor
massif lisse"

P.F.E; E.N.P.A Juin 1983